





Gradbeni vestnik • GLASILO ZVEZE DRUŠTEV GRADBENIH INŽENIRJEV IN TEHNIKOV SLOVENIJE in MATIČNE SEKCIJE GRADBENIH INŽENIRJEV INŽENIRSKO ZBORNICE SLOVENIJE

UDK-UDC 05 : 625; tiskana izdaja ISSN 0017-2774;

spletna izdaja ISSN 2536-4332.

Ljubljana, junij 2018, letnik 67, str. 113-132

Izdajatelj:

Zveza društev gradbenih inženirjev in tehnikov Slovenije (ZDGITS), Karlovška cesta 3, 1000 Ljubljana, telefon 01 52 40 200; faks 01 52 40 199 v sodelovanju z **Matično sekcijo gradbenih inženirjev Inženirske zbornice Slovenije (MSG IZS)**, ob podpori **Javne agencije za raziskovalno dejavnost RS, Fakultete za gradbeništvo in geodezijo Univerze v Ljubljani, Fakultete za gradbeništvo, prometno inženirstvo in arhitekturo Univerze v Mariboru in Zavoda za gradbeništvo Slovenije**

Izdajateljski svet:

ZDGITS: **mag. Andrej Kerin**, predsednik
Dušan Jukič
prof. dr. Matjaž Mikoš
IZS MSG: **Gorazd Humar**
Ana Brunčič
dr. Branko Zadnik
UL FGG: **izr. prof. dr. Sebastjan Bratina**
UM FGPA: **doc. dr. Milan Kuhta**

Glavni in odgovorni urednik:

prof. dr. Janez Duhovnik

Lektor:

Jan Grabnar

Lektorica angleških povzetkov:

Romana Hudin

Tajnica:

Eva Okorn

Oblikovalska zasnova:

Mateja Goršič

Tehnično urejanje, prelom in tisk:

Kočevski tisk

Naklada:

500 tiskanih izvodov
3000 naročnikov elektronske verzije

Podatki o objavah v reviji so navedeni v bibliografskih bazah COBISS in ICONDA (The Int. Construction Database) ter na

<http://www.zveza-dgits.si>

Letno izide 12 števil. Letna naročnina za individualne naročnike znaša 23,16 EUR; za študente in upokojenca 9,27 EUR; za družbe, ustanove in samostojne podjetnike 171,36 EUR za en izvod revije; za naročnike iz tujine 80,00 EUR. V ceni je všteta DDV.

Poslovni račun ZDGITS pri NLB Ljubljana:
SI56 0201 7001 5398 955

Navodila avtorjem za pripravo člankov in drugih prispevkov

1. Uredništvo sprejema v objavo znanstvene in strokovne članke s področja gradbeništva in druge prispevke, pomembne in zanimive za gradbeno stroko.
2. Znanstvene in strokovne članke pred objavo pregleda najmanj en anonimen recenzent, ki ga določi glavni in odgovorni urednik.
3. Članki (razen angleških povzetkov) in prispevki morajo biti napisani v slovenščini.
4. Besedilo mora biti zapisano z znaki velikosti 12 točk in z dvojnimi presledki med vrsticami.
5. Prispevki morajo vsebovati naslov, imena in priimke avtorjev z nazivi in naslovi ter besedilo.
6. Članki morajo obvezno vsebovati: naslov članka v slovenščini (velike črke); naslov članka v angleščini (velike črke); znanstveni naziv, imena in priimke avtorjev, strokovni naziv, navadni in elektronski naslov; oznako, ali je članek strokoven ali znanstven; naslov POVZETEK in povzetek v slovenščini; ključne besede v slovenščini; naslov SUMMARY in povzetek v angleščini; ključne besede (key words) v angleščini; naslov UVOD in besedilo uvoda; naslov naslednjega poglavja (velike črke) in besedilo poglavja; naslov razdelka in besedilo razdelka (neobvezno); ... naslov SKLEP in besedilo sklepa; naslov ZAHVALA in besedilo zahvale (neobvezno); naslov LITERATURA in seznam literature; naslov DODATEK in besedilo dodatka (neobvezno). Če je dodatkov več, so ti označeni še z A, B, C itn.
7. Poglavlja in razdelki so lahko oštevilčeni. Poglavlja se oštevilčijo brez končnih pik. Denimo: 1 UVOD; 2 GRADNJA AVTOCESTNEGA ODSEKA; 2.1 Avtocestni odsek ... 3 ...; 3.1 ... itd.
8. Slike (risbe in fotografije s primerno ločljivostjo) in preglednice morajo biti razporejene in omenjene po vrstnem redu v besedilu prispevka, oštevilčene in opremljene s podnapisi, ki pojasnjujejo njihovo vsebino.
9. Enačbe morajo biti na desnem robu označene z zaporedno številko v okroglem oklepaju.
10. Kot decimalno ločilo je treba uporabljati vejico.
11. Uporabljena in citirana dela morajo biti navedena med besedilom prispevka z oznako v obliki oglatih oklepajev: (priimek prvega avtorja ali kratica ustanove, leto objave). V istem letu objavljena dela istega avtorja ali ustanove morajo biti označena še z oznakami a, b, c itn.
12. V poglavju LITERATURA so uporabljena in citirana dela razvrščena po abecednem redu priimkov prvih avtorjev ali kraticah ustanov in opisana z naslednjimi podatki: priimek ali kratica ustanove, začetnica imena prvega avtorja ali naziv ustanove, priimki in začetnice imen drugih avtorjev, naslov dela, način objave, leto objave.
13. Način objave je opisan s podatki: knjige: založba; revije: ime revije, založba, letnik, številka, strani od do; zborniki: naziv sestanka, organizator, kraj in datum sestanka, strani od do; raziskovalna poročila: vrsta poročila, naročnik, oznaka pogodbe; za druge vrste virov: kratek opis, npr. v zasebnem pogovoru.
14. Prispevke je treba poslati v elektronski obliki v formatu MS WORD glavnemu in odgovornemu uredniku na e-naslov: janez.duhovnik@fgg.uni-lj.si. V sporočilu mora avtor napisati, kakšna je po njegovem mnenju vsebina članka (pretežno znanstvena, pretežno strokovna) oziroma za katero rubriko je po njegovem mnenju prispevek primeren.

Uredništvo

Vsebina • Contents

Članki • Papers

stran **114**

Tomaž Strmole, univ. dipl. inž. grad.
Matej Jan, univ. dipl. inž. grad.

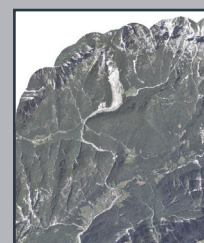
GALERIJA CUKRARNA
GALLERY »CUKRARNA«



stran **120**

viš. pred. dr. Jošt Sodnik, univ. dipl. inž. grad.
prof. dr. Matjaž Mikoš, univ. dipl. inž. grad.

ZEMELJSKI PLAZOVI PRI OCENJEVANJU NEVARNOSTI
ZARADI DELOVANJA DROBIRSKIH TOKOV
LANDSLIDES AT DEBRIS FLOW HAZARD ASSESSMENT



Vabilo

stran **132**

dr. Miloš Bavec, univ. dipl. geol.
5. SLOVENSKI GEOLOŠKI KONGRES

Novi diplomanti

Eva Okorn

Koledar prireditev

Eva Okorn

Slika na naslovnici: Širitev proizvodnje Lek Prevalje, izvajalec Pomgrad d. d.
Foto: arhiv Pomgrad d. d.

GALERIJA CUKRARNA

GALLERY »CUKRARNA«

Tomaž Strmole, univ. dipl. inž. grad.

tomaz.strmole@elea.si

Elea iC, d. o. o.

Dunajska 21, 1000 Ljubljana

Matej Jan, univ. dipl. inž. grad.

matej@projekt.si

Projekt, d. d., Nova Gorica

Kidričeva ulica 9 a

Strokovni članek

725.94:69.059.7(497.451.1)

Povzetek | Objekt Cukrarna v Ljubljani predstavlja pomemben spomenik industrijske arhitekture 19. stoletja. V preteklosti je bilo že več poskusov prenove in rekonstrukcije, vendar ni bila nikoli izvedena sanacija celotnega objekta. Projekt celovite rekonstrukcije objekta, v katerem je predvidena umetniška galerija, obsega rušitev vseh notranjih zidov in strehe, ojačitev obodnih sten z armiranobetonsko oblogo, izvedbo nove jeklene konstrukcije ostrešja in etaž, ojačitev temeljev in izvedbo nove kleti.

Ključne besede: Cukrarna, galerija, sanacija, rekonstrukcija, kulturna dediščina, spomenik

Summary | The old sugar factory building "Cukrarna" in Ljubljana is an important monument of industrial architecture of the 19th century. In the past, there have been several attempts of its renovation and reconstruction, however complete rehabilitation of the whole building has never been carried out. The reconstruction project of the new art gallery building includes the demolition of all the interior walls and roofs, stiffening of the peripheral walls with reinforced concrete cover, implementation of new steel structure of the roofs and floors, reinforcement of foundations and the implementation of new basement.

Key words: sugar factory, gallery, renovation, reconstruction, cultural heritage, monument

1 • UVOD

Objekt Cukrarna je bil zgrajen leta 1828 in je večino 19. stoletja deloval kot rafinerija sladkorja, pozneje pa je bila v njem kasarna. Predstavlja pomemben arhitekturni spomenik industrijske arhitekture 19. stoletja. V preteklosti je bilo že več poskusov prenove in rekonstrukcije objekta, vendar celovita sanacija nikoli ni bila izvedena.

Obstoječi objekt je zasnovan kot opečna zidana konstrukcija. Nosilne stene se z višino objekta tanjšajo od pritličja proti ostrešju. Objekt je temeljen na zidanih kamnitih temeljih. Obstoječe ostrešje je leseno.

Rekonstrukcija predvideva rušitev vseh notranjih nosilnih in predelnih sten, obodne stene

objekta pa se ohranijo. Izvedejo se nove jeklene konstrukcije medetaž, ki se obesijo na jekleno konstrukcijo ostrešja in horizontalno vpnejo v obstoječe opečne stene, ki se ojačijo z armiranobetonsko oblogo. V pritlični etaži, razen obodnih sten, ni vertikalnih nosilnih elementov. Temelji objekta se obbetonirajo, razširijo in ojačijo z jet-grouting koli, ki služijo za ojačitev obstoječih temeljev in sočasno delujejo kot zaščita gradbene jame v območju izvedbe nove armiranobetonske konstrukcije kleti.

2 • ZGODOVINA OBJEKTA

Cukrarna, nekdanja rafinerija sladkorja, je najstarejši ohranjeni objekt industrijske kulturne dediščine v Ljubljani in ena redkih še ohranjenih arhitektur sladkorne rafinerije na območju nekdanje monarhije. Je ena tistih ljubljanskih stavb, zaradi katere je bilo prelitega že mnogo črnila, sprva izpod literarnih peres Dragotina

Ketteja, Josipa Murna - Aleksandrova, Ivana Cankarja, Otona Župančiča, Ivana Prijatelja in mnogih drugih, v zadnjem času pa predvsem veliko tiskalniškega črnila, za tiskanje nešteto projektnih rešitev, diplomskih nalog, doktorskih ekspertiz in strokovnih mnenj o tem, kako prenoviti in ohraniti to izjemno stavbno dedišči-

no, ki pa marsikomu predstavlja tudi trn v peti razvoja in individualnih interesov.

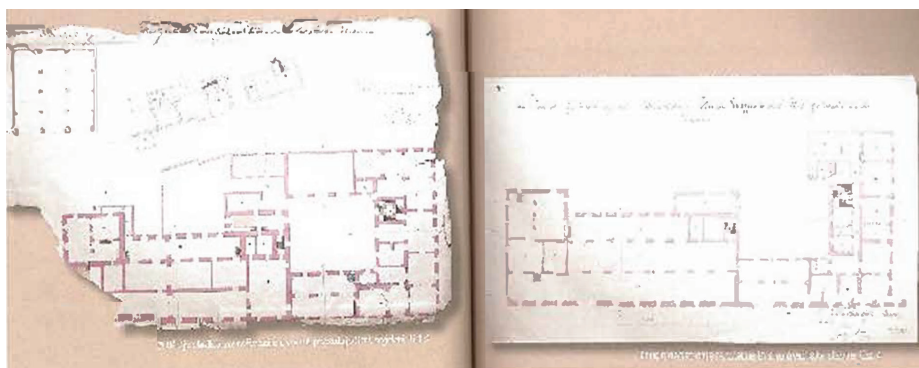
Začetki Cukrarne segajo v davno leto 1828, ko je prvo industrijsko podjetje na slovenskem in ena prvih delniških družb na tem območju pričela investicijo in gradnjo poljanske rafinerije sladkorja. Leta 1830 so bila dela na sladkorni rafineriji končana, čiščenje sladkorja pa je verjetno potekalo že prej. Sredi 19. stoletja je ljubljanska predelovalnica sladkorja prerasla v največjo rafinerijo v monarhiji, saj so v njej leta

1855 proizvedli 6300 ton sladkorja, kar je predstavljalo šestino celotne proizvodnje sladkorja v monarhiji. Leta 1858 se je zgodil katastrofalni požar, ki je bil usoden za tovarno in podjetje. Kljub menjavi lastnika se proizvodnja ni nikoli več obnovila. V letih 1870–1872 so v tovarni ponovno začeli delovati stroji, tokrat tobačne industrije, ki pa je zaradi požara, ki je izbruhnil v dimniku, hitro končala proizvodnjo. Novi lastnik je glede na potrebe mesta, v tovarniškem delu uredil vojašnico, ki je ostala v stavbi vse do konca prve svetovne vojne. Stavba, ki je leta 1895 kljubovala potresu, je v mlajši zgodovini mesta ponudila zatočišče najbolj ranljivim slojem prebivalstva: žrtvam potresa, otrokom, bolnikom, odpuščenim zapornikom, prišlekom in umetnikom. Tam so nastajale Kettejeva in Murnova poezija, Župančičeva Čaša opojnosti in Cankarjeva Erotika. Med vojnama je v stavbi delovala dunajska tovarna pletenin in tkanin, po drugi svetovni vojni pa je leta 1948 preostalo strojno opremo prevzela tovarna Volnenka, ki se je leta 1971 preimenovala v Velano. V Cukrarni sta imela svoje prostore tudi tovarna otroških vozičkov Tribuna in podjetje Novost, ljubljansko lutkovno gledališče je imelo tam svoje delavnice in skladišče, zatočišče pa so v objektu našle še številne druge dejavnosti.

Leta 1987 je bila Cukrarna začasnim odlokom za eno leto zaščitena kot kulturni spomenik, leta 1990 pa je bila vpisana na seznam kulturne dediščine kot umetnostni in arhitekturni spomenik. V svoji zgodovini je bila stavba večkrat nadzidana, prizidana in rekonstruirana. Zgradbo so v začetku 90. let 20. stoletja izpraznili z namenom prenove in spremembe v nakupovalno središče. Načrti se niso uresničili in v objekt so se naselili brezdomci. Zaradi večkrat-



Slika 1 • Cukrarna (litografija, ok. 1864).



Slika 2 • Originalni načrti objekta Cukrarna (levo: pritličje, desno: drugo nadstropje).

nih požarov, ki so jih zanelili (v enem izmed njih je pogorel tudi osrednji del ostrešja), so objekt za silo zavarovali pred nadaljnjim propadanjem, okna in vrata v nižjih nadstropjih pa zazidali ter s tem preprečili dostop do objekta. Pozneje so za ves promet, tudi pešce, najprej delno, nato

pa popolnoma zaprli tudi Povšetovo ulico, saj je prehod ob objektu zaradi možnosti odpadanja delov stavbe postal prenevaren. Leta 2010 so za potrebe izgradnje podrli del povezovalnega trakta med Cukrarno in dvorcem ter stavbo na tem delu dodatno utrdili (Krmelj, 2010).

3 • SPLOŠNI PODATKI O OBJEKTU

1.1 Splošno

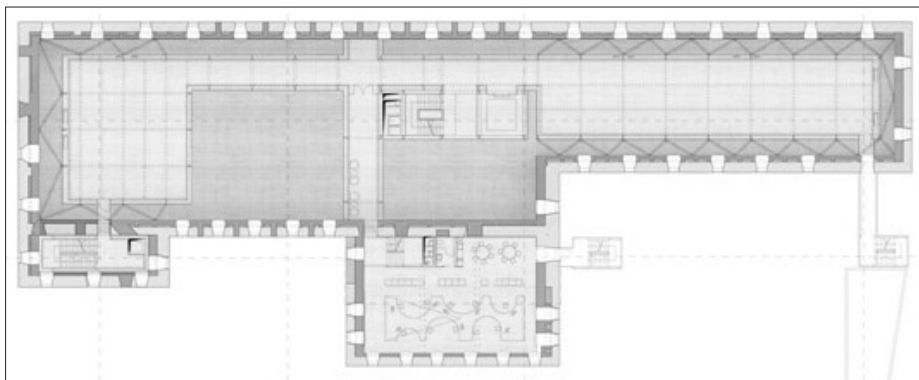
Investitor rekonstrukcije objekta je Mestna občina Ljubljana. Tlorisne mere so 85,0 x 32,7 m. Objekt ima klet, pritličje, tri nadstropja in mansardo. Kota pritličja je na 289,12 m. n. v., kota slemena 316,10 m. n. v. in kota kapi 307,50 m. n. v. Bruto etažna površina je ca. 6600 m², ocena investicije je ca. 20 milijonov EUR.

1.2 Konstruktivna zasnova

Nosilna konstrukcija objekta je zasnovana kot kombinacija armiranobetonskih sten ter jeklene medetažne konstrukcije in ostrešja.



Slika 3 • Cukrarna – vizualizacija.



Slika 4 • Karakteristični tloris in prerez objekta.

Obstoječe opečne obodne stene, ki se ohranijo, se obbetonirajo v debelini 30 do 80 cm. Na vrhu opečnih sten po celotnem obodu objekta poteka armiranobetonski venec, na katerega se sidra jeklena konstrukcija ostrejša. Medetažne jeklene konstrukcije, ki so zasnovane kot palični sovprežni nosilci z medetažno ploščo hi-bond debeline 15 cm, so preko jeklenih vešal obešene na nosilne strešne okvirje in z diagonalnimi cevnimi razporami horizontalno sidrane v armiranobetonske stene. Medetažne konstrukcije južnega prizidka so zasnovane kot klasične armiranobetonske plošče. Obodni temeljni zidovi se ojačijo z jet-grouting koli globine ca. 10,0 m. Nova kletna etaža višine ca. 5,5 m je zasnovana z obodnimi armiranobetonskimi stenami debeline 30 cm in montažno medetažno konstrukcijo s prednapetimi TT-ploščami višine ca. 1,0 m in razpona 11,0 do 16,0 m. Obodne stene osrednjega dela objekta, kjer se po celotni višini objekta dviguje odprt prostor brez medetažnih konstrukcij, se ojačijo z armiranobetonskimi rebri, ki se vklešejo v obstoječe opečne zidove.

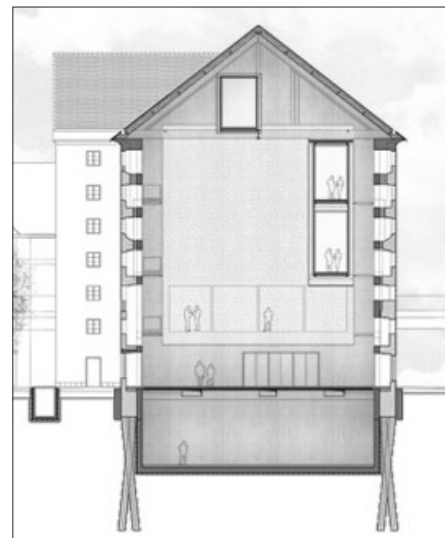
1.3 Materialno-tehnično stanje objekta

Temelji objekta so pretežno kamniti in segajo ca. 70 cm pod koto tlaka v objektu. Na vkopnem delu objekta je zgornji del temeljnega zidu do globine ca. 80 cm opečnat, pod njim pa so temelji kamniti ali mešano opečnokamniti višine ca. 140 cm. Širina temeljev sledi

debeleni zidov ali pa se razširi od linije zidu za ca. 10 cm. Temelji so v relativno dobrem stanju, brez večjih poškodb. Objekt ne kaže bistvenih znakov diferenčnega posedanja ali lokalnega popuščanja temeljev.

Nosilno konstrukcijo objekta predstavlja sistem obodnih in prečnih zidov, katerih debelina se spreminja od 1,5 m v pritličju do 0,70 m v šestem nadstropju. Poleg zidov nosilno konstrukcijo tvorijo še slopi v vzdolžni smeri objekta. Zidovi in slopi so v glavnem opečni ali mešani zidovi, v katerih kot gradivo prevladujeta opeka in kamen. Del zidov na dvoriščni strani je grajen kot kamniti drobir debeline 0,4–0,6 m, obdan z opečnim zidom. Povprečna tlačna trdnost opeke je ocenjena na 10 MPa. Za vezivo je uporabljena apnena malta, ki je krušljiva in drobljiva in ima ocenjeno tlačno trdnost 0,5 MPa. Zaradi zelo poškodovanega ometa se na zidovih kažejo poškodbe zaradi zamakanja in zmrzovanja. Nosilni zidovi so med seboj povezani z jeklenimi vezmi in sidrnimi ključi, ki pa so na fasadi že precej korodirani. Nekateri slopi znotraj objekta so bili že ojačeni z oblogo iz brizganega betona.

Pred rekonstrukcijo leta 1991 so stropne konstrukcije v nižjih nadstropjih predstavljali masivni opečni oboki, v višjih nadstropjih pa leseni stropi. Med rekonstrukcijo so odstranili pretežni del lesenih stropov, opečni oboki pa so bili ohranjeni. V delu objekta so bile izve-



dene nove armiranobetonske medetažne plošče. V dvoriščnih prizidkih so leseni stropi ostali nedotaknjeni in so v zelo slabem stanju. Prvotna strešna konstrukcija je zasnovana kot razmeroma komplicirano leseno povezje, ki je v zelo slabem stanju in je bilo na osrednjem delu zaradi zamakanja in požara porušeno ter nadomeščeno z novo jekleno položno enokapnico (Šušteršič, 2013).

1.4 Temeljenje

Temeljna tla v območju objekta predstavljajo mlajše in starejše rečne naplavine. Hribinsko podlago sestavljajo permokarbonski peščenjaki in skrilavci na globini ca. 19,0 m. Talna voda je na dveh nivojih, in sicer kot lebdeča podtalnica na globini 10,0 m ter glavna subartheška podtalnica na globini ca. 15,0 m.

Na površju obravnavanega območja je plast umetnega nasipa debeline ca. 2,6 m, ki je sestavljen iz zaglinjenih prodov s kosi opeke in organskimi ostanki lesa. Pod nasipom je sloj savskega proda v srednje gostem in gostem stanju. Do globine 15 m sledi menjavanje konglomerata in zaglinjenega proda. Na globini od 18 do 24 m se pojavi hribinska osnova (Valič, 2013).



Slika 5 • Čukrarna – obstoječe stanje.



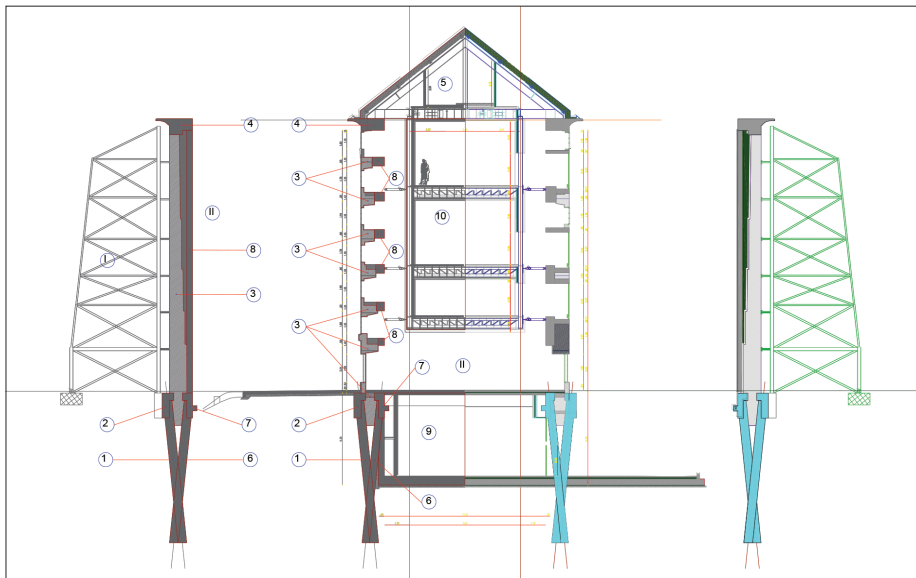
4 • REKONSTRUKCIJA IN FAZNOST GRADNJE

1.5 Splošno

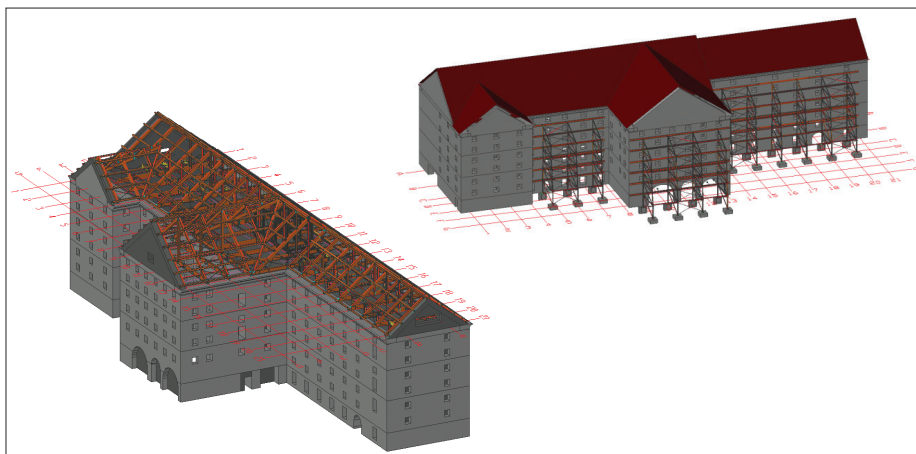
Rekonstrukcija objekta obsega odstranitev vseh notranjih nosilnih in predelnih sten, medetažnih konstrukcij in ostrešja. Obstoječe opečne stene se utrdijo in ojačijo z injektiranjem ter obbetoniranjem. Temeljni zidovi se utrdijo z injektiranjem in jet-grouting koli. Po celotnem tlorisu objekta se izvedeta nova AB-klet in novo jekleno ostrešje. Jeklene med-etažne konstrukcije se obesijo na nosilne strešne okvirje in horizontalno povežejo z obbetoniranimi obstoječimi opečnimi stenami.

1.6 Rekonstrukcijski posegi

Na sliki 6 so shematsko prikazani in opisani rekonstrukcijski posegi, ki se bodo izvajali na objektu. Celotna rekonstrukcija objekta bo zaradi velikega finančnega zalogaja, na željo investitorja, predvidoma razdeljena na štiri faze, ki se bodo izvajale v ločenih časovnih intervalih, odvisno od dinamike pridobivanja finančnih sredstev. Predvidena faznost omogoča prilagajanje vsebine in število posameznih faz, če se v času pridobivanja finančnih sredstev izkaže, da bo finančna shema ugodnejša od predvidene. Konstrukcijski posegi so razdeljeni na tri ločene faze, ki so poimenovane



Slika 6 • Karakteristični prerez z rekonstrukcijskimi posegi.



Slika 7 • Novo jekleno ostrešje in varovalna konstrukcija.

faza F, faza G in faza H. Faza F obsega nujne ukrepe za zaščito konstrukcije in preprečevanje nadaljnje erozije objekta. Faza G obsega rušitvena dela in izvedbo betonskih del znotraj objekta z izjemo kleti. V fazi H se izvedeta še nova klet in jeklena konstrukcija medetaž. Zadnja faza I pa obsega še inštalacijska in obrtniška dela na objektu.

1.7 Faze gradnje

Ukrepi v posameznih fazah so označeni na sliki 6 in opisani v nadaljevanju.

Faza F:

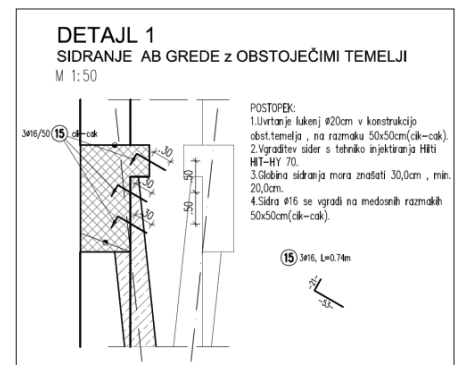
- I Začasna varovalna jeklena konstrukcija na zunanji strani obodnih zidov
- 1 Jet-grouting koli na zunanji strani obodnih zidov
- 2 AB-greda (obbetoniranje) na zunanji strani obstoječih temeljnih zidov
- 3 Sistematično injektiranje obstoječih zidov
- 4 Izvedba AB-venca po celotni dolžini obodnih zidov
- 5 Izvedba novega jeklenega ostrešja

Faza G:

- II Rušitev obstoječih medetažnih konstrukcij in sten znotraj objekta
- 6 Jet-grouting koli na notranji strani obodnih zidov
- 7 AB-greda na notranji strani obstoječih temeljnih zidov
- 8 Obbetoniranje obodnih zidov z notranje strani po celotni višini objekta

Faza H:

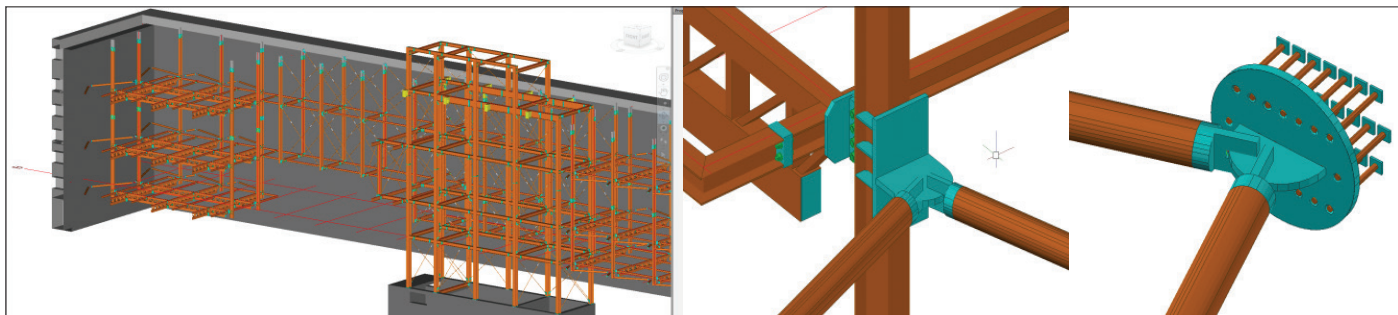
- 9 Nova kletna etaža in temeljna AB-plošča
- 10 Jeklena konstrukcija medetaž, obešena na strešne jeklene okvirje in razprta v AB-stene



Slika 8 • Detajl AB-grede na zunanji strani temeljnega zidu.

Po končani fazi H, ko so izvedeni vsi konstrukcijski posegi, ki zagotavljajo statično in potresno stabilnost objekta, se odstrani zunanja jeklena varoval-

na konstrukcija, ki bo v času med posameznimi fazami zagotavljala potrebno stabilnost in varnost objekta.



Slika 9 • Jeklena konstrukcija medetaž in detajl priklopa diagonalnih razpor.

5 • RAČUNSKE ANALIZE IN PREDPOSTAVKE

Zahtevnost objekta in predvideni rekonstrukcijski ukrepi so vzrok številnim poglobljenim lokalnim in globalnim analizam nosilnih elementov objekta.

Opravljene so bile potresna analiza obstoječe konstrukcije (pushover analiza), potresna analiza nove konstrukcije z dimenzioniranjem jeklenih in armiranobetonskih elementov, analiza in dimenzioniranje začasne varovalne konstrukcije fasadnih sten skupaj z določitvijo

Tower 3D, SOFiSTiK FEM 27, IdeaStatica, Rocscience Slide 5.0, AM Quake ...).

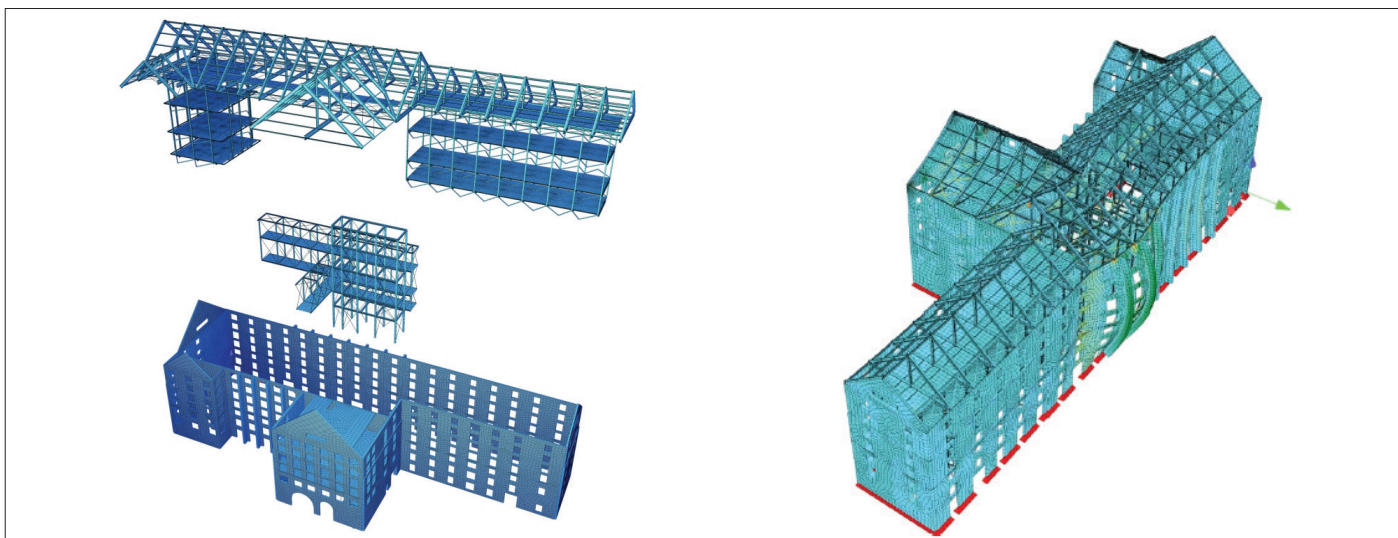
Pri zagotavljanju mehanske odpornosti in stabilnosti objekta so upoštevana določila skupine standardov EUROCODE.

Upoštevani so bili vsi bistveni zunanji vplivi na konstrukcijo: lastna teža, stalna teža zaključnih slojev ter klasične in težke opreme (klimati, strojnice), koristna obtežba z dodatno omejeno obtežbo obešanja razstavnih eksponatov,

in dinamično analizo končnega stanja izdelan s programskim paketom SOFiSTiK FEM 27, ki temelji na metodi končnih elementov. Nosilci in stebri so modelirani z linijskimi elementi, plošče in stene pa s ploskovnimi. Opravljena je bila analiza po teoriji prvega reda.

Za določitev potresnih vplivov je bila uporabljena modalna analiza z upoštevanjem projektnega spektra pospeškov. Razpokani prerezi so upoštevani s polovično vrednostjo upogibne in strižne togosti, ki je bila modelirana s polovičnim elastičnim in strižnim modulom.

Mase v računskem modelu so bile upoštewane po pravilu SIST EN 1991-1, točka 3.2.4 (2)P.



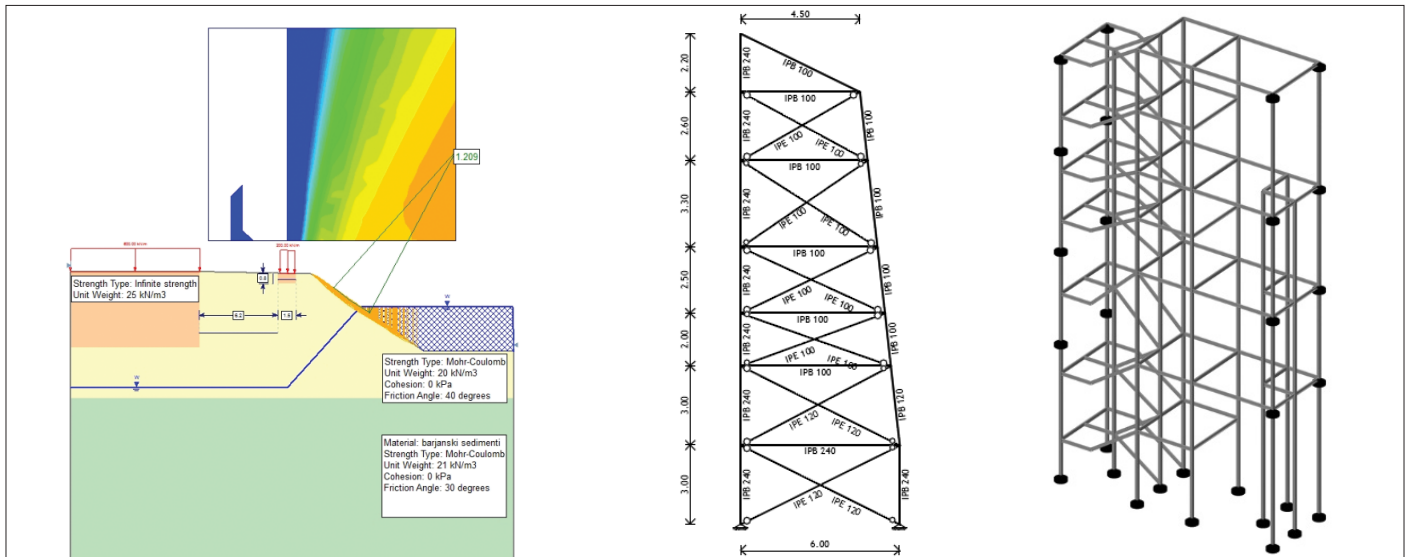
Slika 10 • Prostorski globalni model.

faznosti izvedbe ter številne lokalne analize nosilnih elementov (sovprežne plošče, spoji jeklenih elementov, zunanja jeklena stopnišča ...). V ta namen je bila uporabljena obsežna računalniška programska oprema (Radimpex

zemeljski pritiski na obodne stene kletnih prostorov, vplivi snega in vetra ter potresni vpliv.

Za potrebe analize je bilo izdelanih več različnih modelov konstrukcije, pri čemer je bil najobsežnejši prostorski model za globalno statično

Upoštevana sta bila le del mase, ki izhaja iz koristne obtežbe, in celotna masa, ki izhaja iz lastne in stalne obtežbe na objektu. Vpliv nakužne torzije je bil upoštevan skladno s SIST EN 1998-1, točka 4.3.2 (1)P. Vpliv nihajnih



Slika 11 • Lokalni računski modeli.

oblik je bil upoštevan s popolno kvadratno kombinacijo (CQC). Za kombinacijo vodoravnih komponent potresnega vpliva (kombiniranje smeri X in Y) je bil učinek obeh vodoravnih komponent upoštevan s predpostavko, da potres deluje 100-% v eni in 30-% v drugi smeri ter obratno.

Glavni parametri za izračun potresne analize so:

- projektni pospešek temeljnih tal $a_g = 0,25 g$,
- tip tal kategorije B ($S=1,2$),
- kategorije pomembnosti konstrukcije: III ($\gamma_1=1,2$),

- faktor obnašanja $q=2,0$,
- konstrukcija ni občutljiva za vpliv teorije drugega reda,
- etažni horizontalni pomiki so v mejah dovoljenega 0,005 hi (stavbe, ki imajo vgrajene krhke elemente).

Vsi vertikalni nosilni elementi so dimenzionirani za srednjo stopnjo duktilnosti (DCM) v skladu s SIST EN 1992-1-1 in SIST EN 1998-1. Jekleni stebri, nosilci, vešalke, zatege, zavetrovanja so poleg nivoja napetosti in deformacij za MSN in MSU preverjeni tudi glede stabilnosti po metodi izolacije posameznih elementov.

Začasna konstrukcija, namenjena podpiranju fasadnih sten med gradnjo, je bila preverjena na lokalnem modelu z uporabo metode vodoravnih sil. Upoštevana je bila reducirana potresna obtežba za čas trajanja gradnje. S pomočjo 2D-modela brežine je bila narejena deterministična analiza stabilnosti brežine v primeru potresa pri začasnem varovanju sten.

Uporabljeni so betoni kvalitete C25/30 in C30/37 ter jeklo kvalitete S235 in S355 JR do J2.

6 • SKLEP

Ljubljanska Cukrarna predstavlja najpomembnejši in najstarejši še ohranjeni spomenik industrijske kulturne dediščine v Ljubljani. Po večkratnih neuspehih in delnih rekonstrukcijah, ki nikoli niso bile izvedene v celoti, je morda končno nastopil pravi čas, da se temu spomeniku povrne njegov prvotni ugled.

Zaradi slabega vzdrževanja je konstrukcija načel zob časa, kar bo še dodatno otežilo prenavo in rekonstrukcijo že tako zahtevnega objekta. Arhitekturna ideja in konceptualna zasnova galerije narekujejo obsežne ukrepe za doseganje ustreznih mehanskih odpornosti in stabilnosti objekta.

V članku so predstavljeni izhodišča, predpostavke in ukrepi, ki so bili osnova za izdelavo načrta gradbenih konstrukcij, ki je bil izdelan v podjetju Elea iC, d. o. o., iz Ljubljane in služi kot osnova za skorajšnjo izvedbo rekonstrukcije (Elea, 2016). V času nastajanja članka poteka razpis za izbiro izvajalca.

7 • LITERATURA

Valič, D., Kraljič Kenk, M., Plantev, L., Geološko geotehnični elaborat – Galerija Cukrarna, Geoinženiring, d. o. o., št. pr. 2013-04, 2013.

Krmelj, V., Cukrarna, Založba ZRC, Umetnine v žepu, 3, 2010.

Štrmole, T., Jan, M., Žigon, A., Načrt gradbenih konstrukcij - Celovita ureditev območja Cukrarne in Ambroževega trga z nabrežjem Ljubljane ter objekti upravnega središča Galerija Cukrarna, Elea iC, d. o. o., št. n. 311130061, 2016.

Šušteršič, J., Leskover, I., Brodnik, A., Poročilo o preiskavah materialno tehničnega stanja objekta - Cukrarna glavna tovarniška stavba, Irma, d. o. o., DN 02-032-13/IL, 2013.

ZEMELJSKI PLAZOVI PRI OCENJEVANJU NEVARNOSTI ZARADI DELOVANJA DROBIRSKIH TOKOV

LANDSLIDES AT DEBRIS FLOW HAZARD ASSESSMENT

viš. pred. dr. Jošt Sodnik, univ. dipl. inž. grad.

jost.sodnik@tempos.si

TEMPOS, okoljsko gradbeništvo, d. o. o.,

Tehnološki park 21, 1000 Ljubljana

Univerza v Ljubljani, Fakulteta za gradbeništvo in geodezijo,

Jamova c. 2, 1000 Ljubljana

prof. dr. Matjaž Mikoš, univ. dipl. inž. grad.

matjaz.mikos@fgg.uni-lj.si

Univerza v Ljubljani, Fakulteta za gradbeništvo in geodezijo, Jamova

cesta 2, 1000 Ljubljana

Znanstveni članek

504.4:551.578-057.177

Povzetek | Drobirski tokovi tudi v Sloveniji predstavljajo naravno nevarnost, ki se je pogosto ne zavedamo niti ni primerno obravnavana v področni zakonodaji. Sam pojav drobirskih tokov je pogosto nevaren, povzroča veliko gmotno škodo in terja človeška življenja. To je tudi v Sloveniji pokazal dogodek novembra 2000 v Logu pod Mangartom. Ocenjevanje nevarnosti zaradi delovanja naravnih pojavov je logičen preventivni korak, ki je bil storjen na področju poplav in z njimi povezane erozije, medtem ko metodologija za ocenjevanje nevarnosti zaradi delovanja drobirskih tokov ni predpisana. S pojavom drobirskih tokov je povezano tudi proženje zemeljskih plazov, katerega prostornina predstavlja ključni prispevek k magnitudi drobirskega toka, kar pa je eno ključnih vprašanj, ki v procesu ocenjevanja nevarnosti ostaja odprto in predstavlja izziv. Za primer plazu Stože nad Logom pod Mangartom novembra 2000 smo uporabili model proženja zemeljskih plazov LS-Rapid. Z modelom smo simulirali fazo proženja in določili prostornino splazelega materiala na pobočju Stože. Predlagani pristop in pridobljene izkušnje so lahko uporabni tudi na drugih območjih, kjer potencialno nestabilna območja predstavljajo nevarnost za proženje zemeljskih plazov in s tem tudi za nastanek drobirskih tokov. Prav tako predlagani pristop predstavlja korak v smeri oz. osnovo za nadaljnje raziskave v smeri razvoja metodologije in na koncu izdelavo posebnega pravilnika v podobni obliki, kot je bil izdelan pravilnik za področje poplav.

Ključne besede: drobirski tokovi, zemeljski plazovi, LS-Rapid, upravljanje tveganj, ocenjevanje nevarnosti

Summary | Debris flows present considerable threat in Slovenia. However, this natural phenomenon is ignored in engineering practice as well as in legislation covering hazard assessment and spatial planning. Debris flows are dangerous and can cause large damages and human casualties. Such a case in Slovenia was the November 2000 debris-flow event in Log pod Mangartom. The logical step would be a prescription of a methodology for debris-flow hazard assessment to prevent future events of this kind, but such a preventive step was only taken in the field of floods and flood related erosion. Debris flows are ignored in legislation covering hazard assessment and no changes are expected in the near future. Landslides can be closely related to debris flow initiation and debris flow magnitude and they are key questions when assessing debris flow hazard. The Stože landslide above the village of Log pod Mangartom from November 2000 was analysed with LS-Rapid, a landslide triggering model. With the model we simulated the

triggering phase and assessed the landslide volume on the Stože slope. The proposed approach and the gained experiences can be applicable in other torrential areas where potentially unstable areas and landslide-related debris flows present a threat. The proposed approach also presents a first step into the direction of a debris-flow hazard assessment methodology proposal, which should be implemented in national legislation in a similar way as the regulations for flood hazard and flood-related erosion.

Key words: Debris flows, landslides, LS-Rapid, risk management, hazard assessment

1 • UVOD

Drobirski tokovi v alpskem prostoru predstavljajo resno grožnjo, ki pa je zaradi svsjega pojavljanja in neperiodičnosti pogosto spregledana tako pri zakonodajni obravnavi nevarnosti na območju hudournikov in vršajev kot tudi pri načrtovanju ureditev na območju hudournikov. Definicije in podrobni opisi drobirskega toka kot pojava masnega gibanja so bili že večkrat podani ((Sodnik, 2005), (Sodnik, 2009), (Jakob, 2005)). Drobirski tok lahko uvrstimo med oblike plazjenja tal oziroma obliko zemeljskega plazju z veliko hitrostjo premikanja. Izrazoslovje na področju zemeljskih plazov je kompleksno, v mednarodnem okolju se uporabljajo različne klasifikacije; pogosto se uporabljata originalna Varnesova klasifikacija pobočnega premikanja (Varnes, 1978) in klasifikacija zemeljskih plazov po Crudnu in Varnesu (Cruden, 1996). Skaberne (Skaberne 2001)) je podal svoj predlog slovenskega izrazoslovja pobočnih premikanj oziroma pobočnega transporta. V tem predlogu se angleški izraz »debris flow« posloveni v izraz »drobirski tok«. Dejansko gre za specifično obliko pobočnega premikanja, saj Varnesova klasifikacija pozna 29 ključnih besed za opis zemeljskih plazov, njegova naj-novejša posodobitev (Hungar, 2014) pa ponuja 32 tipov zemeljskega plazjenja.

V primerjavi s poplavami so drobirski tokovi bolj kompleksen pojav, ki ga je zelo težko napovedati, določiti obseg in posledice v primeru sprožitve. V nasprotju s poplavami, ki so periodičen pojav, neposredno povezan

s padavinami in dobro poznanimi lastnostmi vode in mehanizmom gibanja, je pri drobirskih tokovih neznank veliko več, zato je tudi ocenjevanje nevarnosti zahtevna naloga. Drobirske tokove ločimo na hudourniške in pobočno hudourniške drobirske tokove (Sodnik, 2009). Pri hudourniških drobirskih tokovih gre za mobilizacijo materiala v strugi hudournika, medtem ko gre pri pobočno hudourniških drobirskih tokovih za nestabilnost na pobočju (običajno v obliki zemeljskega plazju), ki zdrsi v strugo hudournika in se pozneje zaradi zasičenja z vodo preoblikuje v drobirski tok. Pobočno hudourniški drobirski tokovi so praviloma nevarnejši, saj so magnitude večje, prav tako so hujše posledice. Primer pobočno hudourniškega drobirskega toka je drobirski tok v Logu pod Mangartom, ki je povzročil veliko gmotno škodo in terjal 7 življenj (Četina, 2006). Tudi v naši raziskavi se bomo ukvarjali s pobočno hudourniški drobirskimi tokovi, kjer bomo obravnavali proženje zemeljskih plazov kot glavni prispevek materiala za oblikovanje drobirskega toka.

Drobirski tok ima tri faze: proženje, gibanje in odlaganje (Mikoš, 2001).

Pri fazi proženja se srečamo z vprašanjem, kdaj, kje in koliko materiala se lahko sproži in preoblikuje v drobirski tok. Vprašanje je tudi, kdaj je povezano s padavinami in zemeljskim plazom ali potresom, ki je prav tako lahko eden od vzrokov proženja drobirskih tokov. Vprašanje, kje, je povezano s topografijo terena (naklon, konkavnost ali konveksnost),

usmerjenostjo terena glede na lego in bližino hudourniške struge in seveda z geologijo in samo sestavo tal, ki mora ustrezati pogojem za proženje materiala in s tem oblikovanjem drobirskega toka. Koliko materiala se lahko sproži, je v veliki meri odvisno od geologije, naklona terena in od količine vode, ki je na voljo za transport materiala na dolvodno ležeče območje, ki ga pogosto predstavlja hudourniški vršaj. Magnituda drobirskega toka je celotna prostornina drobirja, sproženega v enem dogodku, ne glede na število zdrsov. In prav določitev magnitude kot rezultata faze proženja je bistvena za ocenjevanje nevarnosti zaradi delovanja drobirskih tokov. Za ocenjevanje magnitude drobirskih tokov so bile različne empirične metode, katerih pregled je podan v (Sodnik, 2005) ter (Sodnik, 2006). Problem empiričnih metod je podoben kot pri metodah za prepoznavanje nevarnih območij, saj je posamezna metoda vezana na območje razvoja. Problem pri ocenjevanju magnitude pa je še toliko večji, ker je za magnitudo poleg morfoloških parametrov treba upoštevati še zelo lokalno specifične parametre, kot so geološka sestava in padavine. Z razvojem novih orodij in modelov se je ponudila tudi možnost uporabe modelov proženja zemeljskih plazov (Sassa, 2010) za potrebe ocenjevanja magnitude potencialnih drobirskih tokov v procesu ocenjevanja nevarnosti. Problem določanja magnitude drobirskega toka je eden ključnih parametrov, ki vpliva na rezultate modela, podobno kot izbrani pretok s povratno dobo pri ocenjevanju nevarnosti zaradi poplav. Magnituda pobočno hudourniških drobirskih tokov je povezana z nestabilnostjo na pobočjih ob hudournikih oz. pojavljanjem zemeljskih plazov v prispevnem območju hudournikov.

teh pojmov je naslednja in prikazana na primeru poplav.

Poplave so naravni pojav, ki lahko v prostoru pomeni nevarnost. Dokler se ta pojav dogaja zunaj prisotnosti človeka in z njim povezane infrastrukture, je to samo pojav. Ko se človek naseli na poplavnem območju ali na poplavnem območju zgradi hišo,

2 • UPRAVLJANJE TVEGANJ IN OCENJEVANJE NEVARNOSTI

Ko govorimo o naravnih pojavih in z njimi povezanimi naravnimi nesrečami, se pojavljajo različni izrazi, kot so nevarnost, ogroženost, tveganje, ranljivost. Pregled izra-

zoslovja je podan v (Đurović, 2006), medtem ko je povezavo te terminologije na področju poplavne problematike predstavil (Mikoš, 2007). Najbolj enostavna obrazložitev vseh

se s tem izpostavi tveganju, ker je sam in njegov objekt ranljiv. Kombinacija ranljivosti in objektivne nevarnosti pomeni ogroženost. Ko se poplave kot naravni pojav zgodijo na območju, kjer je prisoten ranljiv človek in njegova infrastruktura, lahko govorimo o naravni nesreči. Na ogroženost torej vplivata tako objektivna nevarnost pojava v prostoru kot ranljivost človeka oz. njegove infrastrukture in s spreminjanjem obeh lahko spreminjamo ogroženost in s tem tveganje za človeka. Tako govorimo o upravljanju tveganj oz. rizičnem menedžmentu. Prvi korak, verjetno najpomembnejši v procesu rizičnega menedžmenta, je ocenjevanje nevarnosti (ang. hazard assessment), s katerim dobimo podatek o dejanski nevarnosti, ki zaradi izbranega pojava obstaja na določenem območju. Ocena nevarnosti je osnova za vse nadaljnje ukrepe in je zato pravilnost te ocene zelo pomembna. To je verjetno tudi razlog, zakaj se pri vseh naravnih pojavih največ pozornosti namenja prav kvalitetni in predvsem zanesljivi oceni nevarnosti.

Drobirski tokovi so z vidika ocenjevanja nevarnosti zelo specifičen pojav. Glavni problem je neperiodičnost pojava, prav tako se pojavlja vprašanje, kje se drobirski tokovi sploh lahko pojavijo. Poplave so v nasprotju z drobirskimi tokovi periodične in se pojavljajo z različnimi magnitudami oz. povratnimi dobami skoraj vsako leto. Poleg tega je povsem jasno, da lahko na vsakem vodotoku pričakujemo poplave, vprašanje je samo intenziteta poplav pri izbrani povratni dobi. Tudi za snežne plazove obstaja katastrofa, ki je bil izdelan leta 1994, v njem pa so označena območja, kjer se pojavljajo snežni plazovi (Pavšek, 2002).

Pri drobirskih tokovih je torej ocenjevanje nevarnosti precej zapleteno in je najprej treba določiti, na katerih območjih se drobirski tokovi sploh pojavljajo, šele nato se lahko govori o ocenjevanju nevarnosti v smislu priprave kart nevarnosti in pozneje ogroženosti, kar je napisano v prejšnjem poglavju o izvajanju rizičnega menedžmenta. Poleg tega gre pri ocenjevanju nevarnosti zaradi delovanja drobirskih tokov še za vprašanje kompleksnosti pojava, ki ga določa več dejavnikov, med drugim reološke karakteristike mešanice in magnituda dogodka. Ravno zaradi kompleksnosti pojava so se pojavile različne metode in pristopi pri ocenjevanju nevarnosti zaradi delovanja drobirskih tokov. Postopek ocenjevanja nevarnosti zaradi delovanja drobirskih tokov po korakih je podan v (Jakob, 2005).

Z dogodkom novembra 2000 v Logu pod Mangartom se je izraz »drobirski tok« začel pogosteje uporabljati tudi v Sloveniji. Pojavila se je tudi definicija drobirskega toka: drobirski tok je gravitacijski (hiperkoncentrirani) tok mešanice zemljin, hribin (skal), vode in/ali zraka, ki je sprožen z nastankom plazu pri velikem vtoku vode (Ribičič, 2001). Prej so se dogodki na hudournikih večkrat poimenovali murasti tok (Mikoš, 2000), hudourniški izbruh, hudourniška lava in podobno. Od takrat so se tudi na temo drobirskih tokov začele opravljati različne raziskave, ki so bile povezane tudi s poznejšimi aktualnimi dogodki na Koseču in na plazu Slano blato. Večina raziskav je bila namenjena analizi preteklih dogodkov in oceni nevarnosti ob morebitni ponovitvi. Pregled raziskav je podan v (Sodnik, 2009). Velik problem pri raziskavah je vedno predstavljalo pomanjkanje zgodovinskih podatkov o preteklih dogodkih, kar je področje, kjer Slovenija precej zaostaja za sosednjimi državami v alpskem prostoru (Italija, Avstrija, Švica in Nemčija). Razlog za pomanjkanje podatkov o drobirskih tokovih lahko iščemo tudi v tem, da se ta termin v preteklosti ni uporabljal in so tudi dejanski drobirski tokovi, ki so bili zavedeni v arhivih takratne hudourniške službe, poimenovani drugače in jih je tako težko ločiti od drugih ekstremnih dogodkov na hudournikih.

Zakonska podlaga za ocenjevanje ogroženosti v Sloveniji je Zakon o vodah (Zakon, 2002), kjer so definirana ogrožena območja in predpisane prepovedi za posege na teh območjih. Ta območja se delijo na poplavna, erozijska, plazljiva (plazenje tal in zemeljski plazovi) in plazovita (plazenje snega in snežni plazovi). Pozneje sta bila za področje poplav in s poplavami povezane erozije sprejeta Pravilnik o metodologiji za določanje območij, ogroženih zaradi poplav in z njimi povezane erozije celinskih voda in morja, ter o načinu razvrščanja zemljišč v razrede ogroženosti (Pravilnik, 2007) in Uredba o pogojih in omejitvah za izvajanje dejavnosti in posegov v prostor na območjih, ogroženih zaradi poplav in z njimi povezane erozije celinskih voda in morja (Uredba, 2008). V Pravilniku je predpisana metodologija za izdelavo kart poplavne nevarnosti (razdelitev na razrede) in kart poplavne ogroženosti.

Z omenjenima dokumentoma je Slovenija naredila velik korak naprej na področju poplavne problematike in se oba dokumenta v praksi redno uporabljata za vse posege in tudi oblikovanje prostorskih aktov na poplavno ogroženih območjih.

Prvi problem uporabe zgoraj omenjenih pravilnikov je ta, da se praviloma izdelujejo le karte nevarnosti, saj za izdelavo kart ranljivosti ni predpisana podrobna metodologija, zato se tudi karte ogroženosti ne izdelujejo pogosto oz. so kar enačene s kartami nevarnosti.

Drugi problem pa je beseda »erozija« v (Pravilnik, 2007). Za ocenjevanje erozijske nevarnosti ni predpisana metodologija, ampak je predpisana samo izdelava kart erozijske nevarnosti, ki temelji na debelini odnesenega oz. odloženega materiala pri pretokih z različnimi povratnimi dobami. Take karte erozijske nevarnosti so za zdaj izdelane predvsem po strokovni oceni izdelovalca, modeliranje erozijskih procesov se za razliko od poplav v praksi ne izvaja niti za to ne obstaja enotne metodologije. Potem se pojavi še vprašanje hudournikov. Kar se tiče poplavne problematike, je ocenjevanje nevarnosti lahko podobno kot pri drugih vodotokih, pri vprašanju erozijske nevarnosti pa je situacija na hudournikih precej bolj zapletena, saj so količine materiala, ki se transportira ob visokih pretokih, precej večje kot pri nižinskih vodotokih, procesi so bistveno bolj intenzivni. In ko govorimo o ocenjevanju erozijske nevarnosti na hudournikih, ki je (glede na (Pravilnik, 2007)) vezana na povratne dobe pretokov, se vprašamo, kam spadajo drobirski tokovi, ki so pogosto kombinacija zemeljskega plazu in povišanega pretoka (Log pod Mangartom, Koseč, Čedca nad Jezerskim), ne pa samo povečane transportne sposobnosti, kot je to pri hudourniških poplavah.

Naš predlog je, da se drobirski tokovi opredelijo kot poseben pojav in da jih ni mogoče enačiti z erozijsko problematiko na vodotokih in hudournikih ter da potrebujejo ločeno obravnavo tudi na zakonodajni ravni, kjer bi bilo treba pojav drobirskih tokov, podobno kot zemeljskih in snežnih plazov, opredeliti kot samostojen problem in mu predpisati samostojno metodologijo za ocenjevanje nevarnosti in ogroženosti. Na nujnost ocenjevanja nevarnosti po ločeni metodologiji lahko pokaže že primer Loga pod Mangartom, kjer po nobeni zdajšnji metodologiji ne bi mogli predvideti posledic dogodka, ki je terjal kar 7 življenj in povzročil veliko gmotne škode. Enako ne moremo z obstoječo metodologijo oceniti ogroženosti naselja Kropa zaradi drobirskega toka, ki se je med poplavami septembra 2007 sprožil na hudourniku Hrenovec, a se je k sreči ustavil na položnejšem odseku in se ni premaknil do naselja (Sodnik, 2007).

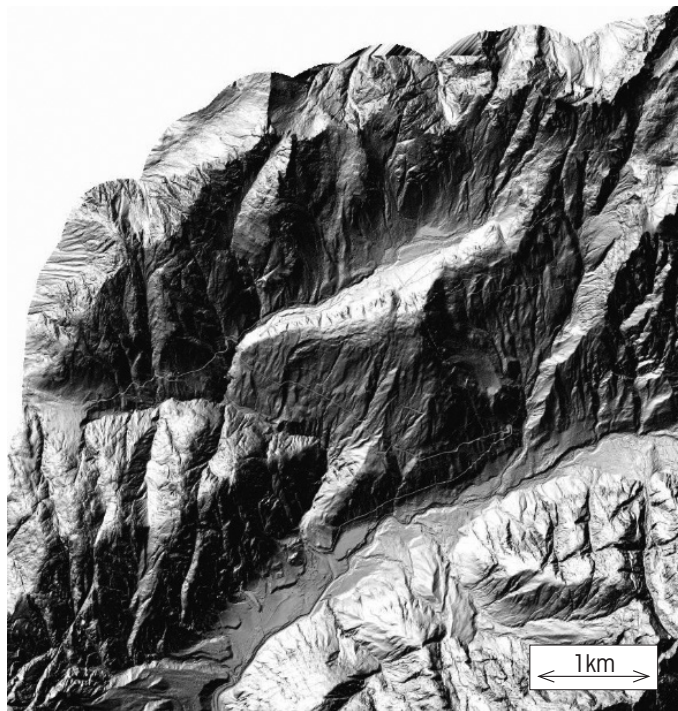
3 • MODELIRANJE PROŽENJA ZEMELJSKEGA PLAZU STOŽE

3.1 Zemeljski plaz Stože in drobirski tok v Logu pod Mangartom

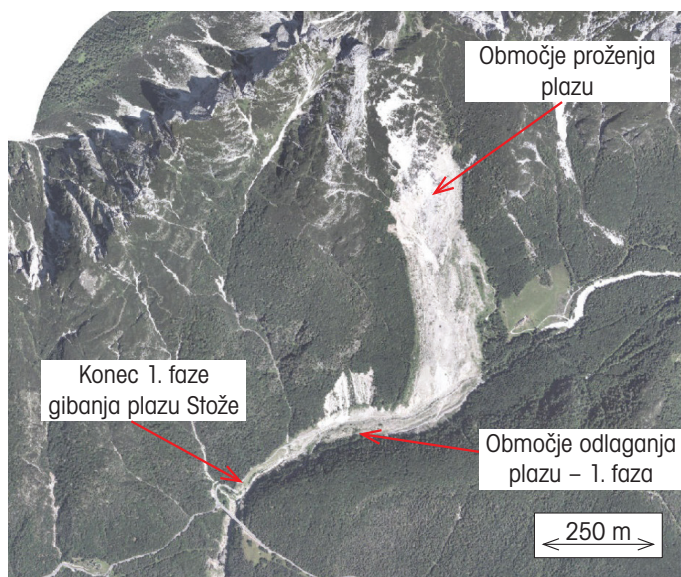
Log pod Mangartom v Sloveniji na področju raziskovanja drobirskih tokov predstavlja zelo pomembno območje, saj je to vas leta 2000 zasul katastrofalen drobirski tok, ki je terjal 7 življenj, in je s tem dogodkom pojav drobirskih tokov izpostavil kot pomembno raziskovalno

temo in hkrati enega od bolj nevarnih naravnih pojavov, ki se lahko zgodijo tudi v slovenskih hudournikih. Dogodek v Logu pod Mangartom je potekal v dveh fazah, 15. in 17. novembra 2000. Najprej se je 15. novembra 2000 na pobočju Stože sprožil zemeljski plaz, ki se je odložil v strugi Mangartskega potoka. Mikoš et al. (2004) je dogodek opisal kot drobirski

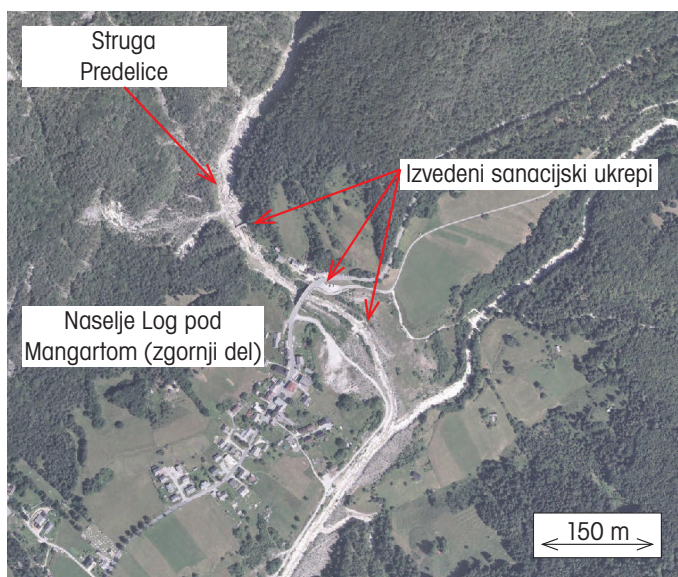
plaz (v angleščini kot debris flow slide), ki se je sprožil na pobočju Stože in zdrsnil v strugo Mangartskega potoka kot suhi drobirski tok (ang. dry debris flow). Pozneje se je zaradi močnega deževja in namakanja odložene mase zaradi dotoka vode po strugi Mangartskega potoka odloženi material relativno suhega drobirskega toka ponovno mobiliziral in se spremenil v mokri drobirski tok (angl. wet debris flow) ter po strugi Predelice potoval do naselja Log pod Mangartom, kjer je povzročil veliko škodo in smrtne žrtve. Širše območje



Slika 1 • Območje Loga pod Mangartom in območje plazu Stože (levo digitalni ortofoto – DOF, desno LiDAR). (Vir: spletni Atlas okolja)



Slika 2 • Območje proženja plazu in odlaganja v Mangartski potok. (Vir: spletni Atlas okolja)



Slika 3 • Območje odlaganja drobirskega toka v Logu pod Mangartom. (Vir: spletni Atlas okolja)

plazu Stože in vasi Log pod Mangartom je prikazano na sliki 1. Več o dogodku je opisano v (Mikoš, 2004), (Četina, 2006) in (Baron, 2013). Zanimivo je dejstvo, da je slovenski izraz drobirski plaz (ang. debris flow slide), ki ga je za opis dogodka 15. novembra 2000 (prva faza) uporabil Mikoš (Mikoš, 2004), našel mesto tudi v najnovejši posodobitvi Varnesove klasifikacije zemeljskih plazov (Hungar, 2014).

Obravnavano območje je sicer alpska dolina zahodno od Mangarta (2679 m) v SZ Sloveniji. Topografija je zelo peštra, kar se odraža v 700 m višinske razlike na razdalji 1,7 km. Površje je bilo oblikovano z ledeniki v dobi pleistocena. Območje Mangarta in okolice sestavljajo zgornje triasne kamnine, ki jih sestavljajo trije glavni tipi, in sicer kordevolski skladoviti in tankoplastnat dolomit na SV delu območja, triasni laporovec, glinavec in apnenec v osrednjem in zahodnem delu ter v spodnjem delu v glavnem dolomit. Geološka sestava na območju proženja plazu (slika 2) je zelo neugodna, saj se je plaz sprožil v sedimentih ledeniške morene, pobočnih gruščih ter koluviju, ki so bili odloženi na neprepustnih slojih triasnih apnencev in marmorjev. Spodnje neprepustne plasti predstavljajo zelo dobre pogoje za čezmerno saturacijo zgornjih plasti, bogatih z glinami, kar lahko vodi v nestabilne pogoje (Baron, 2013).

Območje Loga pod Mangartom (slika 3) in primer drobirskega toka na tem območju je zelo zanimivo in primerno za našo raziskavo zato, ker je bilo v preteklosti opravljenih veliko raziskav, ki so bile izvedene na področju geologije, geomorfometrije, hidrologije, hidravlike in hidravličnega modeliranja ter geotehnike. Raziskave so bile opravljene z namenom pojasnitve dogodka in pa ocene potencialne nevarnosti ponovitve dogodka, saj je v zaledju še veliko materiala, ki bi se lahko ponovno spremenil v drobirski tok in ogrozil naselje Log pod Mangartom.

Na področju matematičnega modeliranja so bile narejene študije s poanalizo dogodka za umerjanje modela in za analizo posledic morebitne ponovitve dogodka ((Fazarinc, 2002), (Hojnik, 2001), (Mikoš, 2006), (Četina, 2006)). Opravljene so bile analize materiala za namen določanja reoloških karakteristik in analiziranja lastnosti materialov, ki bi lahko pripeljali do sprožitve (Petkovšek, 2002). Dogodek v Logu pod Mangartom pa je pritegnil tudi pozornost tujih raziskovalcev, ki so s pomočjo snemanja iz zraka in geološkega kartiranja izvedli kartiranje plazu in njegovih glavnih lastnosti (Baron, 2013).

Omenjene raziskave pomenijo neke vrste preboj v Sloveniji pri raziskavah na področju drobirskih tokov tako z vidika geotehnike kot tudi hidrotehnike in upravljanja hudournikov. Na podlagi teh raziskav so bili načrtovani in izvedeni tako sanacijski ukrepi kot omilitveni ukrepi za preprečevanje oz. omilitvev posledic morebitne ponovitve dogodka, ki glede na raziskave ni izključen (Četina, 2006).

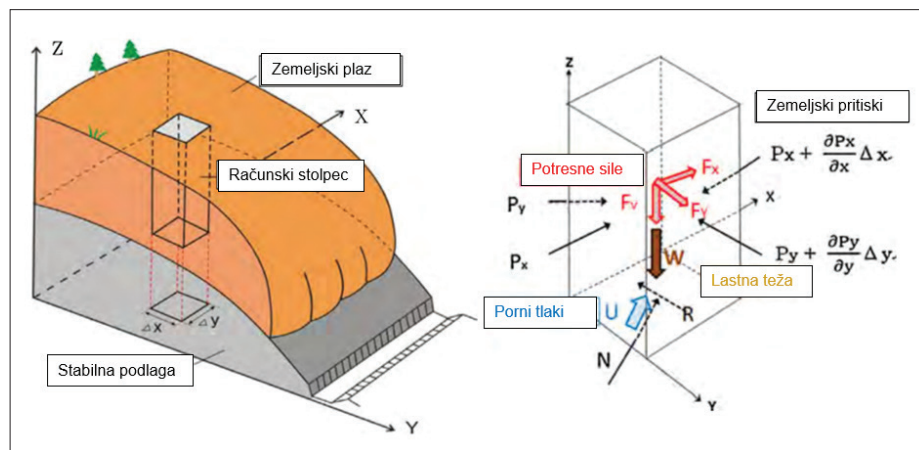
In ravno ta dobra pokritost z raziskavami dogodka je razlog, da je to območje primerno tudi za naše raziskave, za vpeljavo novih metod in modelov in omogočena je primerjava pristopov z že izvedenimi ter primerjava rezultatov. Glavna prednost izbranega območja pa je dejstvo, da imamo za ta primer dobirskega toka relativno veliko podatkov.

3.2 Model proženja LS-Rapid

Kot odgovor na pomanjkanje modelov za celovito modeliranje (proženje, gibanje in odlaga-

ganja plazu. Večina analiz mejnega stanja zemljin (Fellenius, Bishop, Janbu, Spenser) upošteva, da se pri sprožitvi plazu stabilnost poruši na celotni drsni ploskvi hkrati, medtem ko model LS-Rapid upošteva, da porni tlaki v zemljini naraščajo različno in da se pojavijo cone nestabilnosti, ki se širijo in pripeljejo do porušitve celotnega območja.

Glavna predpostavka modela je, da se vsa potencialna energija zemljine odraža kot strižna energija oz. sila na drsni ploskvi. Kinetična energija se zmanjšuje zaradi medsebojnih trkov delcev v masi, zaradi prenosa gibalne količine na zajeto maso plazu in gibanja delcev preko neravnin in grap v prostoru. Model ima vgrajeno funkcijo izgube/disipacije energije brez trenja za specifično mrežo in časovni korak z upoštevanjem mejnih vrednosti hitrosti in/ali debeline. Teoretične osnove modela so prikazane na sliki 4.



Slika 4 • Teoretična osnova modela LS-Rapid, povzeto po (Sassa, 2010).

nje) je bil razvit model LS-Rapid, ki je namenjen modeliranju vseh treh faz zemeljskih plazov. Razvit je bil v okviru ICL (ang. International Consortium of Landslides) (Sassa, 2010). Model je zasnovan na način, da kot sprožilne faktorje upošteva padavine in potres. Možna je tudi kombinacija obeh faktorjev. Je prvi model, ki simulira fazo proženja, fazo gibanja in fazo ustavljanja oz. odlaganja. Model je nastal kot nadgradnja teorije o porušitvah pri zemeljskih plazovih, modela gibanja ter znanja, pridobljenega v geotehničnem laboratoriju pri uporabi dinamičnega strižnega obroča z upoštevanjem obremenitev. Osnova modela je strižna trdnost materiala, ki je načeloma merljiva v laboratoriju in s tem lažje določljiva. Za upoštevanje vpliva potresa je možen vnos dejanskih posnetkov potresnih valov – meritev. Polega faze gibanja je možno simulirati tudi mobilizacijo materiala na poti

Osnovna enačba modela je naslednja:

$$\vec{a}m = (\vec{W} + \vec{F}_v + \vec{F}_x + \vec{F}_y) + \left(\frac{\partial \vec{P}_x}{\partial x} \Delta x + \frac{\partial \vec{P}_y}{\partial y} \Delta y \right) + \vec{R} + \alpha \frac{1}{2} m |\vec{v}| \vec{v}^2 \quad (1)$$

Pri čemer je:

\vec{a} : pospešek

m : masa

\vec{W} : lastna teža

\vec{F}_v , \vec{F}_x in \vec{F}_y : potresne (seizmične) sile v različnih smereh

\vec{P} : bočna sila zaradi tlaka

\vec{R} : strižna trdnost/odpornost, vključno z učinkom pornih tlakov U

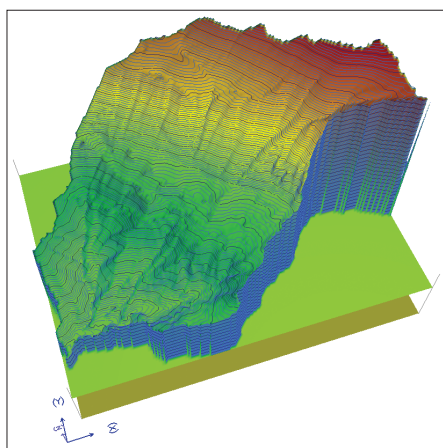
\vec{v} : hitrost

α : dimenzijski koeficient za upoštevanje izgube/disipacije energije (m^{-1})

Sicer je model, njegovo teoretično ozadje in delovanje, podrobno opisan v (Sassa, 2010).

Pri simulaciji, v kateri so kot sprožilni faktor upoštevane padavine, sta ključna parametra modela faktor pornih tlakov r_u in rezidualna nedernirana strižna trdnost τ_{ss} . Za določanje parametra τ_{ss} je bil razvit strižni aparat (undrained dynamic – loading ring – shear apparatus), vendar ima omenjeni aparat določene omejitve, saj omogoča vgradnjo vzorca z $d_{max} = 2$ mm. To za naše razmere v alpskem prostoru, kjer prevladujejo bolj grobe frakcije, pomeni, da je tak aparat manj uporaben. Zaradi te omejitve smo v svoji raziskavi predpostavili določene načine določanja tega ključnega parametra modela, ki so se z občutljivostno analizo potrdile in izkazale za uporabne v nadaljnjih simulacijah.

Sicer je osnova modela digitalni model reliefa (DMR) s poljubno resolucijo, na podlagi katere se generira osnovna geometrija modela. Kar se tiče geometrije in debeline preperine, je treba definirati dva od treh podatkov. Prvi in obvezni podatek je višina celic (ang. slope surface), ki je definiran že z uvozom DMR, potem pa je treba dodati še podatek o debelini preperine na izbranem območju, kar se uredi z neposrednim podatkom o debelini preperine v izbrani celici ali za celotno območje (ang. sliding mass thickness), lahko pa se definira globina drsine oz. absolutna nadmorska višina stabilne podlage (ang. sliding surface elevation).



Slika 5 • Primer osnovne geometrije modela v programu LS-Rapid.

Zemljinam v modelu je treba določiti naslednje parametre, za katere so podane tudi neke okvirne vrednosti:

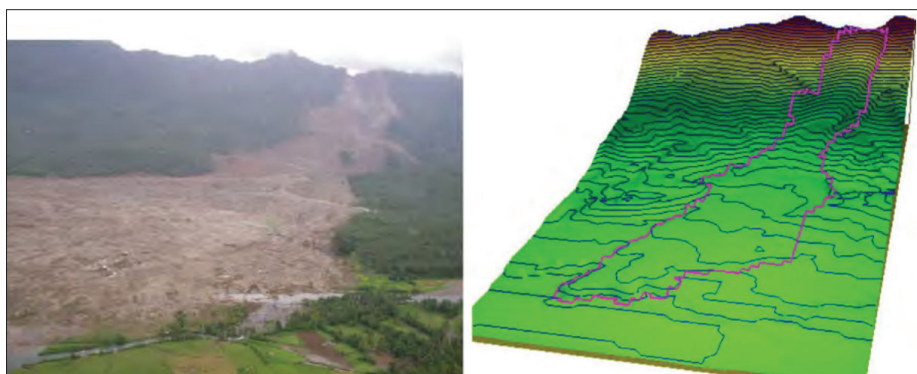
- Koeficient mirnega zemeljskega pritiska (Lateral pressure ratio k): 0,30–0,60
- Strižni kot zemljine (Friction coefficient inside landslide mass ϕ_i): ($^\circ$) 0,36–0,58
- Strižni kot zemljine na drsni ploskvi takoj po porušitvi (Friction coefficient

during motion at sliding surface ϕ_m): ($^\circ$) 0,46–0,70

- Nedernirana strižna trdnost med gibanjem oz. rezidualna strižna trdnost (Steady state shear resistance at sliding surface ϕ_p) (kPa): 5–50
- Koeficient pornih tlakov (Rate of excess pore-pressure generation r_u): 0,0–1,0
- Maksimalni strižni kot zemljine (Peak friction coefficient at sliding surface ϕ_p): ($^\circ$) 0,65–0,78
- Maksimalna kohezija zemljine (Peak cohesion at sliding surface c_p) (kPa): 10–100
- Specifična teža zemljine (Unit weight of mass γ_m) (kN/m³)

Fakulteta za gradbeništvo Univerze na Reki in Univerza Kjoto. V nadaljevanju so naštet primeri nekaterih aplikacij modela na področju poanalize preteklih plazov in ocenjevanja nevarnosti zaradi delovanja zemeljskih plazov. Podani so tako primeri iz Japonske oz. primeri, kjer so model uporabljali njegovi avtorji, kot tudi iz sosednje Hrvaške, kjer je bil model uporabljen na treh območjih.

Plaz Leyte, Filipini 2006 (Sassa, 2010) Izvedena je bila poanaliza katastrofalnega plazu prostornine med 20.000.000 in 30.000.000 m³, ki se je sprožil kot posledica dolgotrajnih padavin in potresa. Poudarek raziskave je bil na sprožilnih faktorjih plazu ter pomenu padavin in potresa za samo sprožitve.



Slika 6 • Primerjava dejanskih dimenzij plazu z rezultati simulacije z modelom LS-Rapid (Sassa, 2010).

Glede na dejstvo, da je bil model LS-Rapid razvit na Japonskem, je povsem pričakovano, da je tudi uporaba le-tega omejena pretežno na Japonsko in z njo povezanimi državami, med katerimi je tudi sosednja Hrvaška, kjer je vzpostavljeno tesno sodelovanje na relaciji

Plaz Aratozava, Japonska 2008 ((Setiawan, 2014), (Setiawan, 2016))

Potres 14. junija 2008 je v provinci Mijagi sprožil več kot 4000 zemeljskih plazov. Volumen plazu Aratozava je bil ocenjen na 67.000.000 m³. Analiza z modelom LS-Rapid



Slika 7 • Plaz Aratozava (Setiawan, 2014).



Slika 8 • Plaz Grohovo (Arbanas, 2014).

je pokazala, da samo potres, brez predhodne velike količine padavin, ne bi mogel sprožiti zemeljskega plazu v takem obsegu in da so ključni sprožilni faktor pri sprožitvi odigrali pomni tlaki v zemljini.

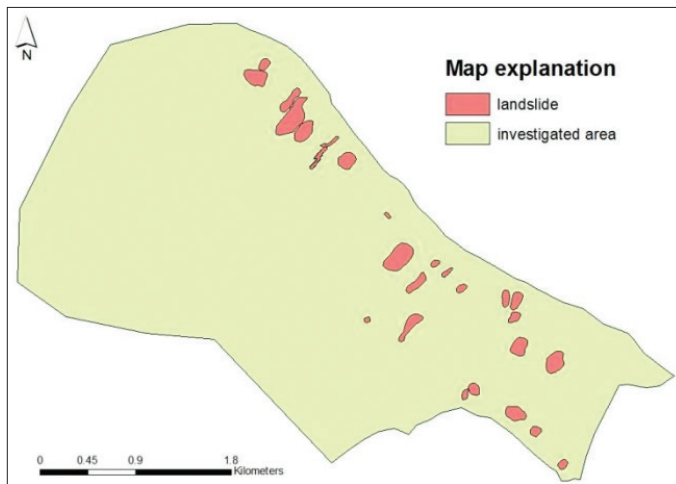
Plaz Grohovo, Hrvaška (Arbanas, 2014)

V področju flišev v dolini Riječine nad Reko se je decembra 1996 sprožil plaz Grohovo. Prostornina plazu je ocenjena na 3 milijone m³, predstavlja pa veliko grožnjo za zajezitev Riječine. Drсна ploskev se je formirala na stiku gruščca in flišne osnove. Izvedena simulacija proženja plazu je pokazala, da je bil glavni sprožilni faktor plazu naraščanje pornih tlakov zaradi dolgotrajnega deževja. Pomemben zaključek raziskave je bil, da lahko ob ponovitvi podobnega padavinskega dogodka pride tudi do proženja plazov na bližnjih območjih, ki so podobne geološke sestave kot plaz Grohovo.

Plazovi v flišu, hrvaška Istra (Dugonjić Jovančević, 2013)

V delu Istre med Pazinom in Buzetom je območje fliša sive barve, zato se ta del imenuje kar Siva Istra. V preteklosti so se na tem delu že prožili plazovi in LS-Rapid je bil uporabljen za analizo teh plazov in oceno nevarnosti pojavljanja novih plazov v prihodnosti. Glavni sprožilni faktor plazov na tem območju predstavljajo intenzivne padavine in infiltracija le-teh. Rezultati modela so pokazali določeno ujemanje s plazovi, ki so se na tem območju dejansko pojavljali v preteklosti.

V prikazanih primerih uporabe modela LS-Rapid je razvidno, da je model primeren za simuliranje proženja plazov. Vsi prikazani primeri prikazujejo uporabo modela za poanalizo dogodkov v smislu boljšega razumevanja dogodka, le v zadnjem primeru gre za omenjanje



Slika 9 • Karta aktivnih zemeljskih plazov na obravnavanem območju (Dugonjić Jovančević, 2013).

možnosti uporabe modela za ocenjevanje dovzetnosti za pojavljanje plazov na izbranem območju. Z veliko količino vhodnih parametrov je model zelo kompleksno zastavljen in terja veliko geotehničnega znanja in izkušenj, predvsem za določanje parametrov zemljin, ki se jih ne da izmeriti in natančno določiti v laboratoriju.

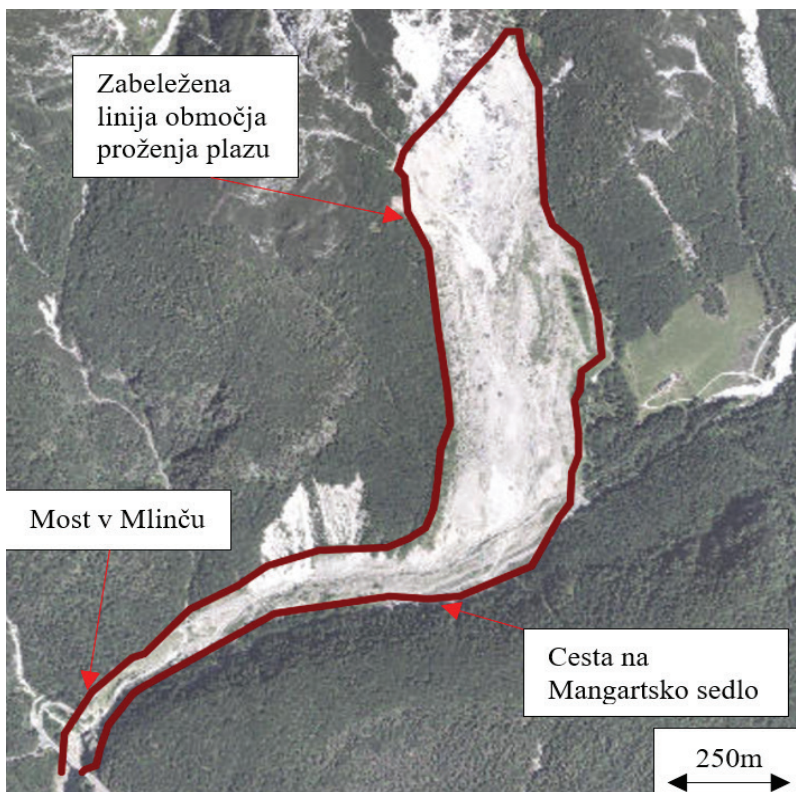
Ravno določanje parametrov zemljin za potrebe lokacijskega napovedovanja proženja plazov in morebitno ocenjevanje volumna proženja je zelo zahtevna naloga, ker pogosto

nimamo vzorcev materiala, še posebej če obravnavamo večje območje.

Prikazani primeri kažejo na uporabnost modela za analizo proženja plazov tako zaradi padavin kot potresov. Analizirani so bili tako plitvi kot globoki plazovi, kar daje modelu večjo uporabnost.

3.3 Uporabljeni podatki v naši raziskavi

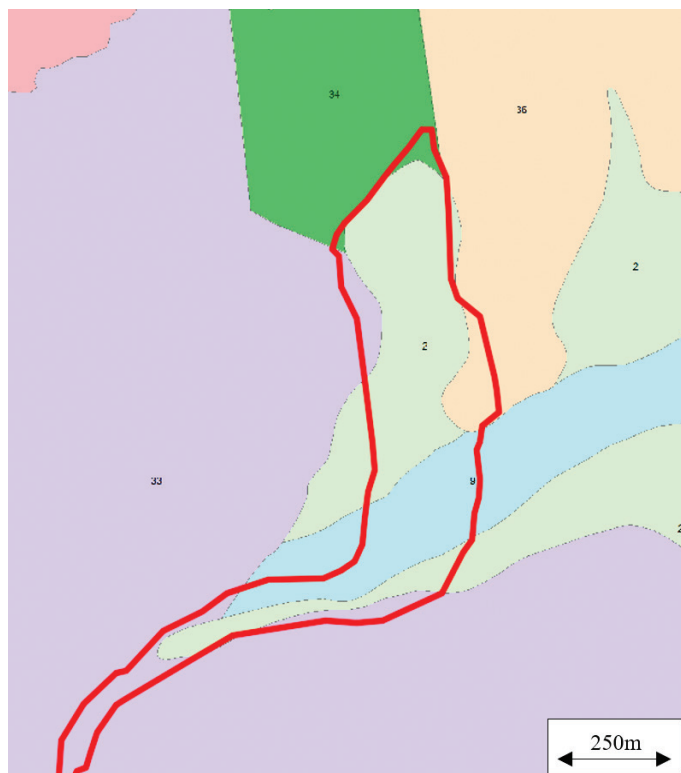
Za podatke o terenu (DMR) je bila uporabljena kombinacija novih LiDAR-podatkov (javni DMR1) in starih podatkov ((Četina, 2006),



Slika 10 • Digitalni ortofoto in zabeleženo območje plazu Stože – rdeča linija.

(Hojnik, 2001)), kjer je bilo zajeto stanje pred plazom (generirane plastnice iz starih topografskih kart). Za območje zunaj plazu smo uporabili novi LiDAR-ski DMR1 z resolucijo 1 m, za območje plazu pa DMR, generiran iz plastnic terena pred plazom leta 2000. Obdelava in kombiniranje podatkov sta bila izvedena v ACad Civil 3D-orodju.

Geološka karta območja v merilu 1 : 100.000 je bila za potrebe raziskave pridobljena na Geološkem zavodu Slovenije (slika 11) in je bila uporabljena za določanje vhodnih podatkov modela LS-Rapid.



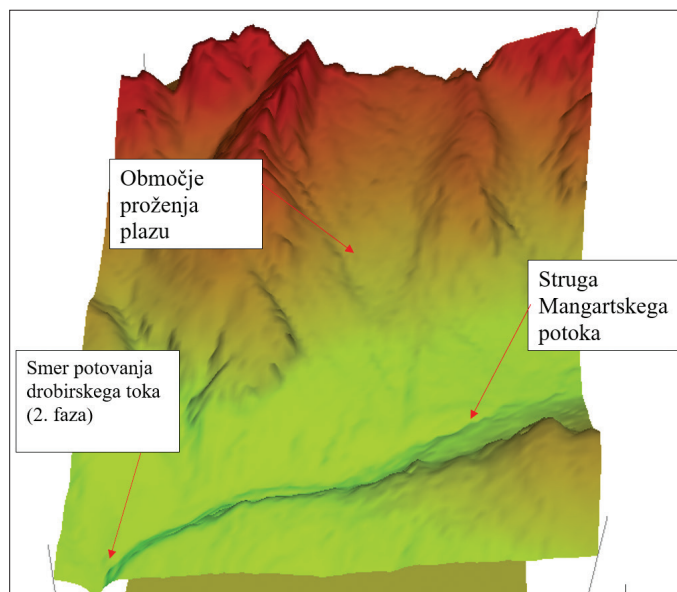
Slika 11 • Geološka karta območja z vrisanim območjem plazu Stože (pridobljeno na GeoZS) – 33 – skladovit glavni dolomit (karnij – norij); 34 – apnenec, lapor, dolomit in dolomit z rožencem (tamarska formacija – (zgornji del karnija); 36 – masiven in skladnat dolomit in apnenec (karnij); 2 – pobočni grušč; 9 – nesprijeta morena.

Pogled na meje plazu in geološko karto območja jasno pokaže, da je do plazenja prišlo v pobočnih gruščih in nesprijeti moreni. Odstopanja na robovih so lahko utemeljena z merilom geološke karte in natančnosti njene izdelave, ki je merilu primerna. Geološka karta za izbrano območje je bila predelana v matriko za vnos v model LS-Rapid, kjer so bili za vsako geološko enoto predpisani parametri, potrebni za simulacijo. Sami geološki parametri so bili predpostavljeni na podlagi izkušenj s podobnimi zemljinami in pregledom literature na tem področju.

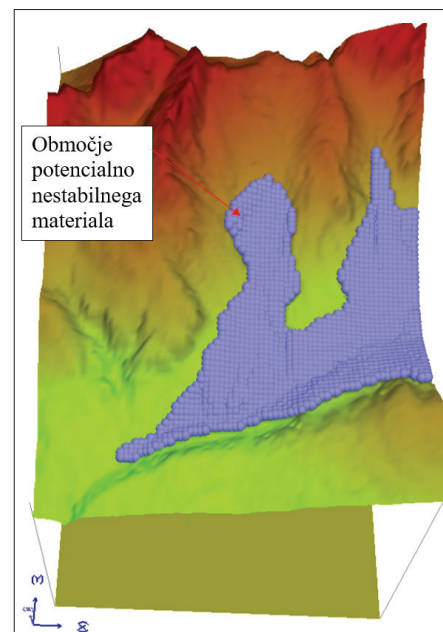
3.4 Modeliranje faze proženja in ocena volumna sproženega materiala

Za določanje območij proženja in ocenjevanje magnitude (plaz Stože, ki predstavlja prvo fazo dogodka na območju Loga pod Mangartom) je bil uporabljen model LS-Rapid, ki je podrobneje opisan v poglavju 3.2. Na uporabo modela LS-Rapid za ocenjevanje magnitude drobirskih tokov je vezana celotna raziskava. Potrditev uporabnosti modela za ta namen in seveda uporabnost modela z uporabo čim lažje dostopnih in predvsem javnih podatkov bi pomenila možnost širše upora-

debeline preperine z območij brez preperine na območja z debelino preperine, različno od 0 m. Glede na geološko karto in karto naklonov, ki je bila izdelana na podlagi analize DMR, je bilo določeno, da imajo apneneci in dolomiti minimalno debelino preperine oz. zaradi velikih naklonov v naravi predstavljajo gola območja. Zato je bilo odločeno, da se debelina preperine za potrebe modeliranja na teh geoloških enotah določi na 0 m. Debelina preperine se je torej določala samo za geološki enoti pobočnih gruščev in nesprijete morene.



Slika 12 • Topografija modela območja plazu Stože - model LS-Rapid.



Slika 13 • Računsko območje s prikazanimi območji nestabilnega materiala (grušči in morena).

bnosti modela za ta namen. S tem pa tudi možnost aplikacije za ocenjevanje magnitude potencialnih drobirskih tokov v procesu ocenjevanja nevarnosti na hudourniških vršajih. V naših simulacijah so bili kot sprožilni faktor upoštevani porni tlaki.

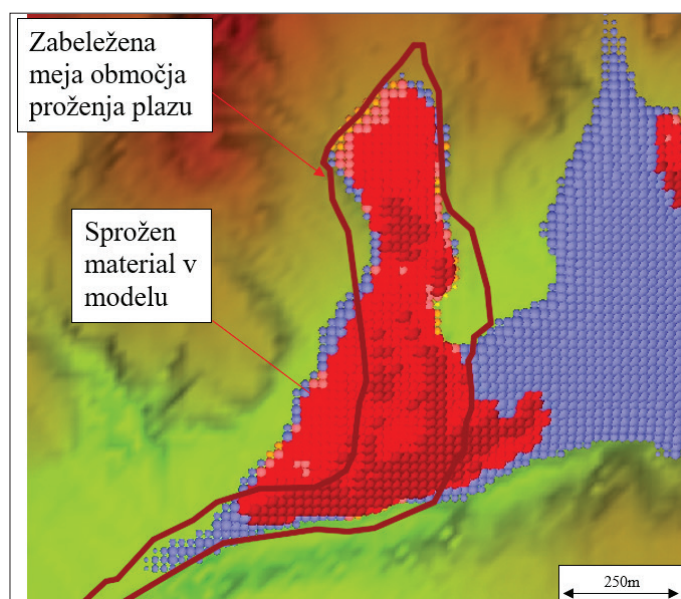
Zaradi zamudnosti vnosa parametrov zemljin preko matrike v model z več geološkimi enotami smo razvili dodaten vmesnik, s katerim je možen enostavnejši vnos parametrov in omogoča še nekatere dodatne funkcije, med katerimi je pomembna t. i. funkcija zaglajevanja, s katero dosežemo enakomeren prehod

Začetni parametri zemljin za simulacijo so bili izbrani sledeče – pobočni gruščiči: $K = 0,50$; $\varphi_i = 40^\circ$; $\varphi_m = 40^\circ$; $\tau_{ss} = 200$ kPa; $B_{ss} = 1,0$; $\varphi_p = 42^\circ$; $c_p = 5,0$ kPa; $\gamma = 22$ kN/m³ – nesprizjeta morena:

$K = 0,50$; $\varphi_i = 36^\circ$; $\varphi_m = 36^\circ$; $\tau_{ss} = 200$ kPa; $B_{ss} = 1,0$; $\varphi_p = 37^\circ$; $c_p = 25,0$ kPa; $\gamma = 23$ kN/m³.

Zaradi že omenjene zahtevnosti določanja parametra τ_{ss} , je bila na podlagi analize delovanja modela postavljena predpostavka, da ima parameter τ_{ss} lahko vrednosti med 45 % in 65 % maksimalne strižne trdnosti materiala.

$\tau_{ss} \approx$ od $0,45\tau_p(r_u = 0)$ do $0,65\tau_p(r_u = 0)$ (2)



Slika 14 • Rezultat modeliranja z vrisanim zabeleženim robom plazu Stože novembra 2000.

Na sliki 14, kjer je prikazan izsek rezultata modela zgornjega dela plazu, se vidi dobro ujemanje rezultatov modela in zunanjega obsega plazu, zabeleženega po sprožitvi leta 2000. Poleg že omenjenega proženja na območju zunaj zabeleženega obsega plazu v zgornjem delu je določena odstopanja opaziti tudi v osrednjem delu plazu. Tukaj je širina proženja v rezultatih modela precej širša od zabeleženega obsega plazu. Ena možnost je, da je to območje sicer nevarno za sprožitev, vendar v dogodku leta 2000 do proženja ni prišlo, lahko pa se razlog za odstopanje rezultatov od zabeleženega obsega skriva tudi v natančnosti geološke karte, ki je bila osnova za izdelavo modela proženja in je bila izdelana v merilu 1 : 100.000. Sicer je rezultat modela dober, tudi premiki plazu so primerljivi z zabeleženimi, saj pride do plazenja in odlaganja materiala v strugo Mangartskega potoka.

3.5 Interpretacija rezultatov modeliranja in ocena prostornine plazu

Rezultati modeliranja so izkazali dobro ujemanje z dejansko zabeleženimi parametri plazu na terenu neposredno po dogodku. V nadaljevanju je podana ocena prostornine plazu Stože na podlagi rezultatov modela, na kratko pa so povzete še druge primerjave rezultatov simulacije in dejansko zabeleženih razmer na terenu.

Ocene količine sproženega materiala na plazu Stože so bile podane večkrat ((Majes, 2006), (Četina, 2006)), se pa vse ocene gibljejo v smeri 1,2 milijona m³, kar smo privzeli tudi v lastni raziskavi (Sodnik, 2017).

Pri spreminjanju parametrov modelov smo spremljali tudi območje proženja, ki se s spreminjanjem τ_{ss} ni spreminjalo, ampak se je zaradi lastnosti zemljine po poružitvi spreminjalo samo globina drsenja in s tem skupna količina splazelega materiala, ki je prikazana v zadnjem stolpcu zgornje tabele. Medtem ko se je pri spreminjanju r_u , predvsem pri vrednosti $r_u = 0,4$, območje plazenja močno spremenilo in je prišlo do obsežnega proženja tudi zunaj območja plazu Stože.

Najboljše ujemanje izračunane količine sproženega materiala in količine, ocenjene v literaturi, smo dosegli pri modelu s parametroma $r_u = 0,3$ in $\tau_{ss} = 190$ kPa. Omenjeni rezultat

Ime modela	r_u (-)	τ_{ss} (kPa)	Količina materiala (m ³)
Log39	0,3	150	2.460.000
Log20	0,3	200	775.000
Log40	0,3	250	72.000
Log41	0,4	150	2.470.000
Log37	0,4	200	825.000
Log42	0,4	250	105.000
Log43	0,2	150	2.480.000
Log44	0,2	200	735.000
Log45	0,2	250	51.000
Log38	0,35	200	800.000
Log34	0,3	180	1.547.000
Log35	0,3	190	1.195.000
Log36	0,3	195	990.000

Preglednica 1 • Primerjava količine sproženega materiala pri različnih modelih

Model LS-Rapid nima možnosti neposrednega odčitavanja količine splazelega materiala, so pa rezultati modeliranja za vsak časovni korak na voljo v matrični obliki in je iz teh podatkov možen izračun količin. Izpis deluje na način, da za vsak časovni korak poda debeline nestabilnega materiala, in najenostavnejši način je uporaba teh matrik v programu Excel, kamor smo uvozili začetne debeline (vhodni podatek modela) in končne debeline materiala (rezultat modela), kjer je možno videti debeline materiala na koncu simulacije.

Glede na to, da na količino splazelega materiala vplivata parametra r_u in τ_{ss} , je bilo izdelanih več modelov, s katerimi smo analizirali vpliv obeh parametrov na količino splazelega materiala. Vse druge karakteristike modelov so ostale povsem enake, spreminjali smo samo parametra r_u in τ_{ss} . Uporabljene kombinacije modelov so podane v preglednici 1.

analize in izračuna prostornine plazu potrdi tudi našo predpostavko o vrednosti parametra τ_{ss} (enačba 2), po kateri za naš material vrednost τ_{ss} znaša:

$$\tau_p = c_p + \sigma'_{zz} \tan \varphi_p \quad (3)$$

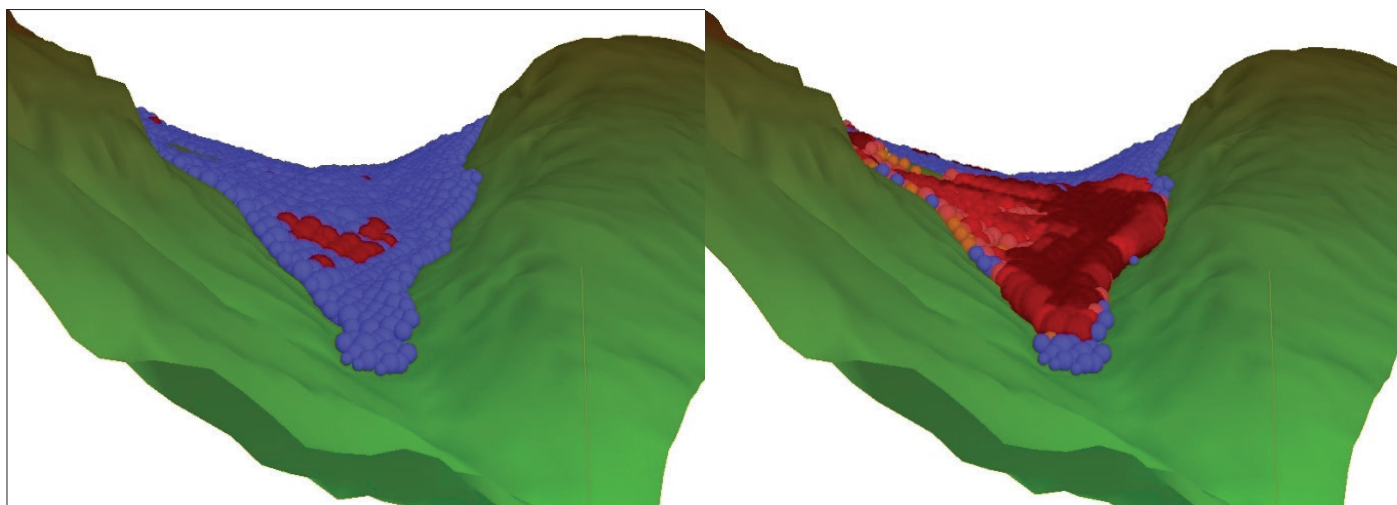
$$\sigma'_{zz} = \sigma_{zz} \times (1 - r_u) \quad (3)$$

$$\tau_p = 5kPa + \left(30m \times 22 \frac{kN}{m^3} \times (1 - 0,3) \right) \times \tan 42^\circ \quad (5)$$

$$\tau_p = 421kPa \quad (6)$$

$$\tau_{ss} = 189kPa \text{ do } 273kPa \quad (7)$$

Zgornji izračun pokaže, da je umerjena vrednost parametra τ_{ss} na spodnji meji postavljene ocene, pa vendar znotraj predlaganega okvirja vrednosti, kjer smo postavili oceno τ_{ss} v odvisnosti od τ_p , za primere, ko nimamo na voljo meritev tega parametra. Za plaz Stože torej lahko zaključimo, da



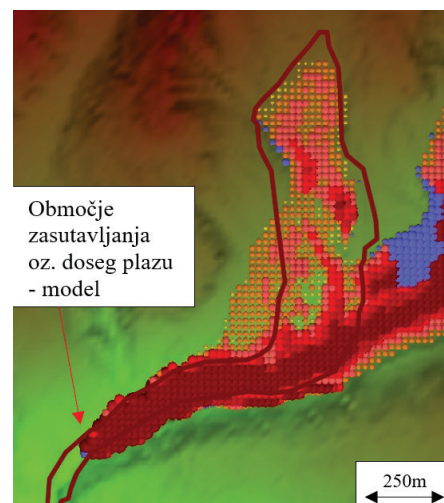
Slika 15 • Rezultat modeliranja prve faze plazu Stože – leva brežina Mangartskega potoka. Začetno stanje (levo) in končno stanje, po prehodu plazu, ki je zaradi velike hitrosti gibanja zasul levo brežino visoko nad dolinskim dnom Mangartskega potoka (desno).

najbolje opiše dogodek novembra 2000 model s parametri $r_u = 0,3$ in $\tau_{ss} = 190$ kPa, s katerimi dosežemo primerljivo območje proženja in primerljivo količino sproženega materiala.

Poleg ujemanja obsega plazu z rezultati simulacije in izračuna prostornine plazu smo razmere na terenu primerjali s simuliranimi še za dva parametra oz. dve značilnosti plazu Stože, in sicer točko ustavljanja plazu v strugi Mangartskega potoka ter razmere na levem bregu struge Mangartskega potoka, kjer je ob zaustavljanju plazu prišlo do nadvišanja plazu.

Slika 15 prikazuje dogajanje med dogodkom in vidi se gibanje drobirskega materiala v strugo in končno nadvišanje drobirskega toka na levem pobočju nad Mangartskim potokom, kar se ujema z zabeleženim stanjem po dogodku 15. novembra 2000. Druga faza plazenja, 17. novembra 2000, na tem območju ni prekrila sledov plazu iz 15. novembra 2000.

Na sliki 16 pa so prikazani rezultat modela plazu Stože in ujemanje rezultatov z vidika točke ustavljanja. Že s slike 14 je razvidno, da se material plazu ustavlja višje gorvodno, kot se je to zgodilo ob proženju novembra 2000. Zato smo v modelu znižali vrednost parametra τ_{ss} na 125 kPa, kjer pa je bilo ujemanje točke ustavljanja dobro. Hkrati tako nizka vrednost parametra τ_{ss} povzroči, da je območje proženja precej večje od zabeleženega po dogodku novembra 2000. Taka ugotovitev lahko po eni strani pomeni, da so se med plazenjem deloma spremenile značilnosti materiala (v strugi Mangartskega potoka je zaradi dotoka vode prišlo do dodatne namočenosti odloženega materiala in s tem do zmanjšanja strižne trdnosti drobirske mešanice), po drugi strani pa se je treba zavedati dejstva, da je model LS-Rapid v prvi vrsti model proženja zemeljskih plazov in manj model gibanja masnih tokov (npr. viskoznost drobirske mešanice pri gibanju ni upoštevana).



Slika 16 • Rezultat modeliranja gibanja prve faze plazu Stože in prikaz točke ustavljanja materiala v strugi Mangartskega potoka.

4 • SKLEP

Ocenjevanje nevarnosti zaradi naravnih pojavov in uporaba teh ocen nevarnosti pri ocenjevanju ogroženosti je na nekaterih območjih, na primer poplavnih, v zadnjih letih postala ustaljena inženirska praksa tudi v Sloveniji. Ker drobirski tokovi glede na izkušnje zadnjih dveh desetletij tudi v Sloveniji predstavljajo vedno bolj prepoznano tveganje, bi bilo nujno tudi za ta nevarni

naravni pojav določiti ustrezno metodologijo, ki bi bila podlaga za izdelavo ocen nevarnosti ter pozneje ocen ogroženosti zaradi drobirskih tokov. Ocene nevarnosti in ocene ogroženosti se morajo upoštevati v postopkih prostorskega načrtovanja in umeščanja posegov v prostor. Pri poplavah velja, da se s hidrološko analizo določijo projektno pretoke z različnimi povratnimi dobami,

ki se uporabijo za ocenjevanje nevarnosti in za načrtovanje omilitvenih ukrepov. Pri drobirskih tokovih magnituda dogodka ni odvisna samo od padavin, ampak predvsem od topografije terena, geološke sestave tal, ki lahko privede do plazenja tal in s tem velike količine zemljinkega materiala, ki je vir za nastanek drobirskega toka – in ravno magnituda potencialnega drobirskega toka je ključni podatek za ocenjevanje nevarnosti zaradi delovanja drobirskih tokov.

Za ocenjevanje magnitude potencialnih drobirskih tokov je bila predlagana uporaba

modela proženja LS-Rapid. Za vhodni podatek smo uporabili javno dostopne topografske podatke DMR1 in geološko karto Slovenije v merilu 1 : 100.000. Za določanje prostornine zemeljskega plazju in s tem magnitude potencialnega drobirskega toka smo model proženja uporabili tudi za analizo plazju Stože, kjer so zaradi opravljenih raziskav na voljo dobri podatki za kontrolo rezultatov modela. Sprožilni faktor v vseh modelih proženja so bili porni tlaki v zemljini, kar bi v nadaljevanju lahko nadgradili v povezavo s hidrološkim modelom in določanjem praga kritičnih padavin (ang. *threshold*). Z modeliranjem zemeljskega plazju se

je izkazalo, da je možno dobro simulirati tako proženje kot odlaganje plazju ter da lahko z dodatnimi analizami izračunamo tudi prostornino plazju. Ker določanje parametrov potencialnega zemeljskega plazju ni možno oz. lahko podamo samo oceno, smo v raziskavi predlagali mejne vrednosti ključnih parametrov, znotraj katerih se lahko giblje njihova dejanska vrednost. Na tem mestu je treba poudariti, da je ključna razlika pri določanju scenarija med poplavami in drobirskimi tokovi ta, da se pri drobirskih tokovih ocenjena magnituda ne določi v smislu točne vrednosti, ampak se lahko določi le zgornja in spodnja mejna vrednost mag-

nitude. Zelo pomembno bi bilo tudi, da bi za obravnavana hudourniška območja obstajale bolj natančne geološke karte (merilo 1 : 10.000 ali morda vsaj 1 : 25.000), katerih del bi bila tudi ocena debeline erozijskega materiala posamezne geološke enote na geološki karti.

Ključno pri ocenjevanju nevarnosti zaradi delovanja drobirskih tokov je zavedanje, da karte nevarnosti oz. meje med razredi nevarnosti ne morejo biti prikazane kot linije, ampak morajo zaradi kompleksnosti pojava in določanja nekaterih parametrov biti te meje prehodne (zvezen prehod med razredi nevarnosti).

5 • ZAHVALA

V prispevku je podan povzetek dela raziskave, ki je bila opravljena v okviru izdelave doktorske disertacije s področja ocenjevanja nevarnosti zaradi delovanja drobirskih to-

kov na hudourniških vršajih (Sodnik, 2017). Zahvala dr. Mateju Mačku za sodelovanje pri geotehničnem delu raziskave, prof. dr. Matjažu Četini za posredovanje digitaliziranega

obrisa plazju Stože, zabeleženega po dogodku novembra 2000, in Geološkemu zavodu Slovenije za geološko karto obravnavanega območja. Doktorska disertacija je potekala v okviru dela raziskovalnega programa P2-0180 Vodarstvo in geotehnika, ki ga je financirala Javna agencija za raziskovalno dejavnost Republike Slovenije (ARRS).

6 • LITERATURA

- Arbanas, Ž., Mihalič Arbanas, S., Vivoda, M., Peranić, J., Dugonjić Jovančević, S., Jagodnik, V., Identification, monitoring and simulation of landslides in the Riječina River Valley, Croatia, Proceedings of the SATREPS Workshop on Landslides in Vietnam, 2014.
- Baron, I., Supper, R., Winkler, E., Motschka, K., Ahl, A., Čarman, M., Kumelj, Š., Airborne geophysical survey of the catastrophic landslide at Stože, Log pod Mangrtom, as a test of an innovative approach for landslide mapping in steep alpine terrains, Natural Hazards and Earth System Sciences 13, 2543–2550, 2013.
- Cruden, D. M., Varnes, D. J., Landslide types and processes, v: Turner, A. K., Schuster, R. L. (ur.), Landslides investigation and mitigation, Transportation Research Board Special Report 247, Chapter 3, US National Research Council, Washington, DC: 36–75, 1996.
- Četina, M., Rajar, R., Hojnik, T., Zakrajšek, M., Krzyk, M., Mikoš, M., Case Study: Numerical Simulations of Debris flow below Stože, Slovenia, Journal of Hydraulic Engineering 132(2), 121–130, 2006.
- Dugonjić Jovančević, S., Nagai, O., Sassa, K., Arbanas, Ž., Deterministic Landslide Susceptibility Analyses Using LS-Rapid Software, Proceedings of the 1st Regional Symposium on Landslides in the Adriatic-Balkan Region, Zagreb, 2013.
- Đurović, B., Mikoš, M., Ali smo ogroženi kadar tvegamo? – pojmi in izrazje teorije tveganj zaradi naravnih nevarnosti, Geologija 49(1), 151–161, Ljubljana 2006.
- Fazarinc, R., Matematično modeliranje drobirskega toka v Logu pod Mangartom, magistrsko delo, Ljubljana, Univerza v Ljubljani, Fakulteta za gradbeništvo in geodezijo, Oddelek za gradbeništvo, Hidrotehnična smer, 2002.
- Hojnik, T., Četina, M., Krzyk, M., Rajar, R., 2D model drobirskega toka na območju Zgornjega in Spodnjega Loga, Zbornik Mišičev vodarski dan 2001, Maribor, 84–91, 2001.
- Hungar, O., Leroueil, S., Picarelli, L., The Varnes classification of landslide types, an update. Landslides 11, 167–194, 2014.
- Jakob, M., Hungar, O., Debris-flow hazards and Related Phenomena, Chapter 17, Springer praxis books, 411–443, 2005.
- Majes, B., Sanacija velikih plazov v Sloveniji, v: Nardin, G. (ur.). G.E.O.O.N. - Gozdovi Ekološko-Okoljska Obnova Narave, smernice za omejevanje hidrogeološkega tveganja, Interreg III A 2000 - 2006 Italia - Slovenia, progetto F.R.A.N.E., Trst, Avtonomna dežela Furlanija Julijska krajina, Glavna Direkcija za kmetijske, naravne, gozdne vire in gorske predele, Služba za gorski prostor in vzdrževanje, 105-130, 2006.
- Mikoš, M., Izrazje na področju erozijskih pojavov, Gradbeni vestnik 49, 101–128, 2000.
- Mikoš, M., Značilnosti drobirskih tokov, Ujma 14-15, 295–299, 2001.

- Mikoš, M., Upravljanje tveganj in nova Evropska direktiva o poplavnih tveganjih, *Gradbeni vestnik* 56(11), 278–285, 2007.
- Mikoš, M., Četina, M., Brilly, M., Hydrologic conditions responsible for triggering the Stože landslide, Slovenia, *Engineering Geology* 73, 193–213, 2004.
- Mikoš, M., Fazarinc, R., Majes, B., Rajar, R., Žagar, D., Krzyk, M., Hojnik, T., Četina, M., Numerical simulation of debris flows triggered from the Strug rock fall source area, W Slovenia, *Natural Hazards and Earth System Sciences* 6, 261–270, 2006.
- Pavšek, M., Snežni plazovi v Sloveniji: geografske značilnosti in preventiva, *Geografija Slovenije* 6, Ljubljana, Geografski inštitut Antona Melika ZRC SAZU. 209 str., 2002.
- Petkovšek, A., Pomen geotehničnih raziskav pri preučevanju drobirskih tokov in prve slovenske izkušnje, *Gradbeni vestnik* 51, 346–361, 2002.
- Pravilnik o metodologiji za določanje območij, ogroženih zaradi poplav in z njimi povezane erozije celinskih voda in morja, ter o načinu razvrščanja zemljišč v razrede ogroženosti, UL RS št.60, 2007, 8375–8379, 2007.
- Ribičič, M., Značilnosti drobirskega toka Stože pod Mangartom, *Ujma* 14–15, 102–108, 2001.
- Sassa, K., Nagai, O., Solidum, R., Yamazaki, Y., Ohta, H., An integrated model simulating the initiation and motion of earthquake and rain induced rapid landslides and its application to the 2006 Leyte landslide, *Landslides* 7(2), 219–236, 2010.
- Setiawan, H., Sassa, K., Takara, K., Miyagi, T., Fukuoka, H., He, B., The simulation of a deep Large-Scale Landslide Near Aratozawa Dam Using a 3.0. Mpa Undrained Dynamic Loading Ring Shear Apparatus, 3rd World Landslide Forum, Beijing, China, 2014.
- Setiawan, H., Tkara, K., Sassa, K., Simulation of Aratozawa landslide using Ring Shear Tests and LS-Rapid model, Japan Geoscience Union Meeting, 2016
- Skaberne, D., Predlog slovenskega izrazoslovja pobočnih premikanj – pobočnega transporta. *Geologija* 44(1), 89–100, 2001.
- Sodnik, J., Metode za ocenjevanje ogroženosti z drobirskimi tokovi, diplomska naloga. Ljubljana, Univerza v Ljubljani, Fakulteta za gradbeništvo in geodezijo, Oddelek za gradbeništvo, Hidrotehnična smer, 2005.
- Sodnik, J., Drobirski tok nad Kropo, *Slovenski vodar* 18, 53–55, 2007.
- Sodnik, J., Matematično modeliranje drobirskih tokov in priprava podrobnih kart nevarnosti, magistrsko delo, Ljubljana, Univerza v Ljubljani, Fakulteta za gradbeništvo in geodezijo, Oddelek za gradbeništvo, Hidrotehnična smer, 2009.
- Sodnik, J., Ocenjevanje nevarnosti zaradi delovanja drobirskih tokov na hudourniških vršajih, doktorska disertacija, Ljubljana, Univerza v Ljubljani, Fakulteta za gradbeništvo in geodezijo, 2017.
- Uredba o pogojih in omejitvah za izvajanje dejavnosti in posegov v prostor na območjih, ogroženih zaradi poplav in z njimi povezane erozije celinskih voda in morja, UL RS št.89, 2008, 12205-12207, 2008.
- Varnes, D. J., Slope movement types and processes, v: Schuster, R. L., Krizek, R. J. (ur.) *Landslides, analysis and control*. Transportation Research Board Special Report 176, National Academy of Sciences, Washington, DC: 11–33, 1978.
- Zakon o vodah (ZV-1), UL RS št. 67, 2002.

5.000.000.000 _ 5.0

5. SLOVENSKI GEOLOŠKI KONGRES

Do 5 milijard let z družbo 5.0

Velenje, 3.–5. 10. 2018

Na poti urejanja dosegljivosti geoloških in drugih podatkov o pod površju

Področje zbiranja, interpretiranja in razpoložljivosti geoloških in sorodnih podatkov v Sloveniji ni urejeno. Možnosti, da bi se načrtovalci in investitorji v fazi prostorskega načrtovanja, odločanja za investicijo, projektiranja in izvedbe oprli tudi na že znane podatke in interpretacije o geoloških, geotehničnih, hidrogeoloških, inženirsko-geoloških in sorodnih lastnostih določenega dela ozemlja, so omejene in na ravni stanja pred drugo svetovno vojno. Tako stanje je dokazano škodljivo. Slovenska geološka stroka je zato obudila aktivnosti za pripravo zakonodaje, ki bo, po tihi ukinitvi Zakona o temeljih geološke dejavnosti, pomembne za vso državo v devetdesetih letih, to področje ponovno uredila.

Slovensko geološko društvo trenutno v strokovnih krogih koordinira razpravo o načinu ureditve področja, ki ga stroka želi urediti s krovnim zakonom z za zdaj še delovnim imenom Zakon o pridobivanju in hrambi podatkov o geosferi (ZGeos). Izhodišča za pripravo zakona so naslednja:

- Podpovršje je javna last, zato morajo biti tudi podatki o njem javni.

- Podatke o raziskavah in posegih pod Zemljinim površjem je treba centralno zbirati in interpretirati.
- Dostop do podatkov in interpretacij naj bo kar se da odprt.
- Tehnične možnosti za časovno učinkovito digitalno izvedbo zbiranja in dostopa do podatkov in interpretacij so na voljo.

Predlog ZGeos v evropskem merilu ne prinaša večjih novosti. Urejati želi le trenutno nesprejemljivo stanje v Sloveniji, kjer kljub obstoječemu znanju in podatkom, ki pa niso centralizirani in javno dostopni, načrtujemo posege na plazljivih območjih, podvajamo raziskovalno vrtnanje oziroma raziskave na sosednjih parcelah tudi takrat, ko to ni potrebno, in kjer so podatki o podpovršju, kot je na primer podatek o gladini podzemne vode, skriti pri izvajalcih del in investitorjih. Tudi prostorski načrtovalci geoloških in sorodnih podatkov ne morejo upoštevati. Izjema so nekatera področja gospodarjenja z mineralnimi surovinami, ki jih ureja Zakon o rudarstvu, ter bolj ali manj neoperativne omembe tematike v Zakonu o vodah (ZV-1) in Zakonu o varstvu okolja (ZVO-1).

Predlog zakonske ureditve bo v letu 2018 predstavljen v relevantnih strokovnih združenjih in na 5. slovenskem geološkem kongresu v Velenju od 3. do 5. oktobra. Kongres organizirata Slovensko geološko

društvo in Geološki zavod Slovenije s partnerji Premogovnikom Velenje, Fakulteto za gradbeništvo in geodezijo Univerze v Ljubljani, Slovenskim rudarskim društvom inženirjev in tehnikov, Društvom slovenski komite mednarodnega združenja hidrogeologov in Mestno občino Velenje. Poleg predstavitev znanstvenoraziskovalnih rezultatov bo kongres v Velenju namenjen predvsem dialogu med raziskovalci in uporabniki naših storitev ter predstavitev prenosa znanja v prakso in vpliva uporabe znanja o Zemljinem podpovršju na delovanje in trajnostni razvoj moderne družbe.

Člane Zveze društev gradbenih inženirjev in tehnikov Slovenije vabim k sodelovanju pri razpravi o predlogu ZGeos v okviru strokovnih združenj in na 5. slovenskem geološkem kongresu v Velenju. Zavedamo se, da bo le obširna in strokovno utemeljena razprava vodila do takšnega predloga zakona, ki bo sprejemljiv za vse, ki smo kakorkoli povezani z ukvarjanjem s slovenskim podpovršjem.

**dr. Miloš Bavec, univ. dipl. geol.
direktor Geološkega zavoda Slovenije**

NOVI DIPLOMANTI

UNIVERZA V LJUBLJANI,
FAKULTETA ZA GRADBENIŠTVO IN GEODEZIJO

I. STOPNJA – VISOKOŠOLSKI ŠTUDIJSKI PROGRAM GRADBENIŠTVO

Jonatan Golja, Strokovne podlage za oblikovanje zemljiške politike v občinah Bovec, Kobarid in Tolmin, mentorica izr. prof. dr. Maruška Šubic-Kovač, somentor asist. dr. Peter Lamovec; <https://repozitorij.uni-lj.si/Iskanje.php?lang=slv>

Rok Razinger, Univerzalno načrtovanje turističnega objekta Glamping Ribno, mentorica doc. dr. Mateja Dovjak, somentorica mag. Alenka Plemelj; <https://repozitorij.uni-lj.si/lzpisGradiva.php?id=101352>

Gregor Zupančič, Armirane asfaltne voziščne konstrukcije, mentor izr. prof. dr. Marijan Žura; <https://repozitorij.uni-lj.si/lzpisGradiva.php?id=101378>

II. STOPNJA – MAGISTRSKI ŠTUDIJSKI PROGRAM GRADBENIŠTVO

Miha Tomažič, Statična analiza lesenega mostu preko reke Save v kraju Sava, mentor doc. dr. Drago Saje, somentor doc. dr. Jože Lopatič; <https://repozitorij.uni-lj.si/lzpisGradiva.php?id=101349>

Blaž Prosen, Optimizacija dimenzij in vrste slojev voziščne konstrukcije, mentor doc. dr. Tomaž Maher, somentor asist. dr. Robert Klinc; <https://repozitorij.uni-lj.si/lzpisGradiva.php?id=101425>

Klemen Simončič, Gradnja armirano betonskih vodohranov po tehnologiji bele kadi, mentor doc. dr. Andrej Kryžanowski, somentor izr. prof. dr. Janko Logar; <https://repozitorij.uni-lj.si/lzpisGradiva.php?id=101426>

Filip Franc, Projektiranje armiranobetonske konstrukcije večstanovanjske stavbe v Bitoli, mentor prof. dr. Matjaž Dolšek, somentor asist. dr. Mirko Kosič; <https://repozitorij.uni-lj.si/lzpisGradiva.php?id=101345>

II. STOPNJA – MAGISTRSKI ŠTUDIJSKI PROGRAM OKOLJSKO GRADBENIŠTVO

Viktorija Brkovič, Ureditve, nujne za potrebe turizma v zadrževalnikih hidroelektrarn na Savi, mentor prof. dr. Mitja Brilly, somentor pred. dr. Aleš Golja; <https://repozitorij.uni-lj.si/lzpisGradiva.php?id=101189>

Mateja Trnovec, Obravnava poplavne problematike hudournika Suha v Predvoru s predlogom protipoplavnih ureditev, mentor doc. dr. Simon Rusjan, somentor viš. pred. dr. Jošt Sodnik; <https://repozitorij.uni-lj.si/lzpisGradiva.php?id=101187>

Anja Kitič, Predlog ureditve preskrbe s pitno vodo in odvod odpadnih voda v naselju Strmec na Predelu, mentor doc. dr. Mario Krzyk, somentor prof. dr. Matjaž Mikoš; <https://repozitorij.uni-lj.si/lzpisGradiva.php?id=101188>

Sara Mikec, Prehodnost vodnih turbin tipa Kaplan za dolvodne ribje migracije, mentor doc. dr. Andrej Kryžanowski, somentor dr. Janez Gale; <https://repozitorij.uni-lj.si/lzpisGradiva.php?id=101377>

Jure Zevnik, Učinkovita metoda za avtomatsko vzpostavitev merilnih območij v vodovodnih omrežjih, mentorica izr. prof. dr. Marjeta Kramar Fijavž, somentor asist. dr. Daniel Kozelj; <https://repozitorij.uni-lj.si/lzpisGradiva.php?id=101375>

II. STOPNJA – MAGISTRSKI ŠTUDIJSKI PROGRAM STAVBARSTVO

Nika Gerbec, Integracija tehnologij fazno spremenljivih materialov v grajeno okolje z namenom doseganja kakovosti notranjega okolja in varčne rabe energije, mentorica doc. dr. Mateja Dovjak, somentor doc. dr. Uroš Stritih; <https://repozitorij.uni-lj.si/lzpisGradiva.php?id=101465&lang=slv>

Anja Štrus, Analiza požarne varnosti Osnovne šole Zagradec, mentor izr. prof. dr. Tomaž Hozjan; <https://repozitorij.uni-lj.si/lzpisGradiva.php?id=101339>

Rubriko ureja • Eva Okorn, gradb.zveza@siol.net

KOLEDAR PRIREDITEV

23.-24.7.2018

IASTEM - 423rd International Conference on Civil and Architectural Engineering (ICCAE)

Bukarešta, Romunija
<http://iastem.org/Conference2018/Romania/1/ICCAE/>

29.-30.8.2018

5th International Conference on Steel and Concrete Structures

Tokio, Japonska
<https://steelstructures.conferenceseries.com/>

19.-20.9.2018

Euro Building Materials & Construction Technologies Conference

Amsterdam, Nizozemska
<https://buildingmaterials-technologies.enggconferences.com/>

26.-28.9.2018

2018 Building Performance Analysis Conference and SimBuild

Chicago, Illinois, ZDA
www.ashrae.org/conferences/specialty-conferences/2018-building-performance-analysis-conference-and-sim-build

1.-4.10.2018

Pacific Rim International Symposium INTERPRAEVENT 2018

Toyama, Japonska
<http://interpraevent2018.jp/>

3.-5.10.2018

EEBPVIII - 8th International Conference on Environmental Effects on Buildings and People:

Actions, Influences, Interactions, Discomfort
Krakov, Poljska
<http://psiw.org.pl/eebp8/>

3.-5.10.2018

5. Slovenski geološki kongres

Velenje, Slovenija
www.geo-zs.si/5SGK/

18.-19.10.2018

24. simpozij "Vodni dnevi"

Portorož, Slovenija
<https://sdzv-drustvo.si/vodni-dnevi/>

24.-26.10.2018

14. Slovenski kongres o cestah in prometu

Portorož, Slovenija
www.drc.si/kongres/

28.-31.10.2018

IALCCE 2018 – The 6th International Symposium on Life-Cycle Civil Engineering

Gent, Belgija
www.ialcce2018.org/#/home

9.-15.11.2018

International Seminar on Roads, Bridges & Tunnels; Challenges and Innovation

Solun, Grčija
<http://isrbt.civil.auth.gr/>

22.11.2018

4. strokovna konferenca SIBIM 2018

Kranj, Slovenija
<http://bim.si/event/sibim-2018/>

8.-11.4. 2019

World Construction Forum 2019

»Buildings and Infrastructure Resilience«
Ljubljana, Slovenija
www.wcf2019.org

11.-14.5.2020

14th Congress INTERPRAEVENT 2020

Bergen, Norveška
www.interpraevent.at/?lng=4

2.-6.11.2020

5th World Landslide Forum

Kjoto, Japonska
<http://wlf5.iplhq.org/>

Rubriko ureja • **Eva Okorn**, ki sprejema predloge za objavo na e-naslov: gradb.zeza@siol.net